

金星大気循環の 高解像度シミュレーション

樋村 博基（神戸大/CPS）

共同研究者

杉本 憲彦（慶應大）高木 征弘（京産大）松田 佳久（東京学芸大）大淵 済（神戸大/CPS）

榎本 剛（京大・JAMSTEC）中島 健介（九大）石渡 正樹（北大）佐藤 隆雄（宇宙研）

はしもと じょーじ（岡山大）佐藤 毅彦（宇宙研・総研大）高橋 芳幸（神戸大/CPS）林 祥介（神戸大/CPS）

謝辞：金星探査機あかつきに関わる全ての方に感謝申し上げます。本研究は、地球シミュレータ利用課題『AFES を用いた地球型惑星の大気大循環シミュレーション』及び『AFES を用いた火星・金星大気の高解像度大循環シミュレーション』と文部科学省ポスト「京」萌芽的課題 3「太陽系外惑星（第二の地球）の誕生と太陽系内惑星環境変動の解明」の一環として実施しました。

自己紹介 | 横村 博基

- 専門分野：惑星気象学・大気力学・地球流体力学
- 研究対象：惑星規模の大気の流れ（大気大循環）
- 研究手法：数値実験・シミュレーション解析
- 所属学会：気象学会・惑星科学会・SGEPSS
- これまでの歩み
 - **学生時代@京都大学**
 - ▶ 研究室：気象学研究室 指導教官：余田成男 教授
 - ▶ 博士論文『惑星大気スーパー・ローテーションの力学に関する研究
-自転軸対称な理論モデルの構築と数値実験-』
 - **金星探査機「あかつき」チーム@宇宙研**
 - ▶ 任期中あかつきはクルージングのみ。カメラは動作せず。
 - ▶ 金星高解像度シミュレーションの解析を始める（継続中）。
 - **気候変動リスク情報創生プロジェクトチーム@JAMSTEC**
 - ▶ 気候工学（ジオエンジニアリング）のシミュレーションデータ解析
 - **ポスト「京」萌芽的課題 惑星大気@神戸大学CPS**
 - ▶ 正二十面体準一様格子の非静力学全球大気モデルSCALE-GMの火星化

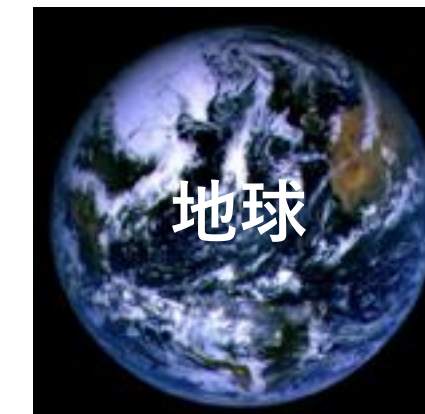
今日のお話

- ① 金星大気循環の特徴
- ② 大気大循環モデル（GCM）による研究
- ③ 金星AFESを用いた高解像度計算
with 金星探査機あかつきの観測

金星大気循環の特徴

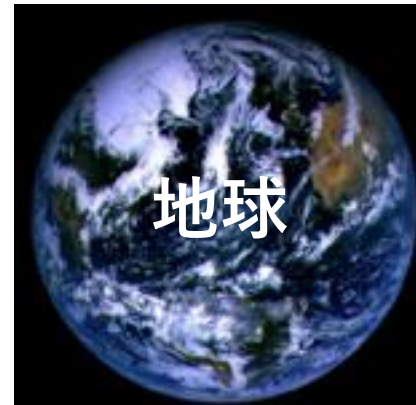
1

金星の特徴



赤道半径	6,052 km	6,378 km
表面重力	8.9 m/s ²	9.8 m/s ²
公転周期	224 日	365 日
自転周期	243 日 (逆向)	1 日
赤道自転速度	1.81 m/s	465 m/s

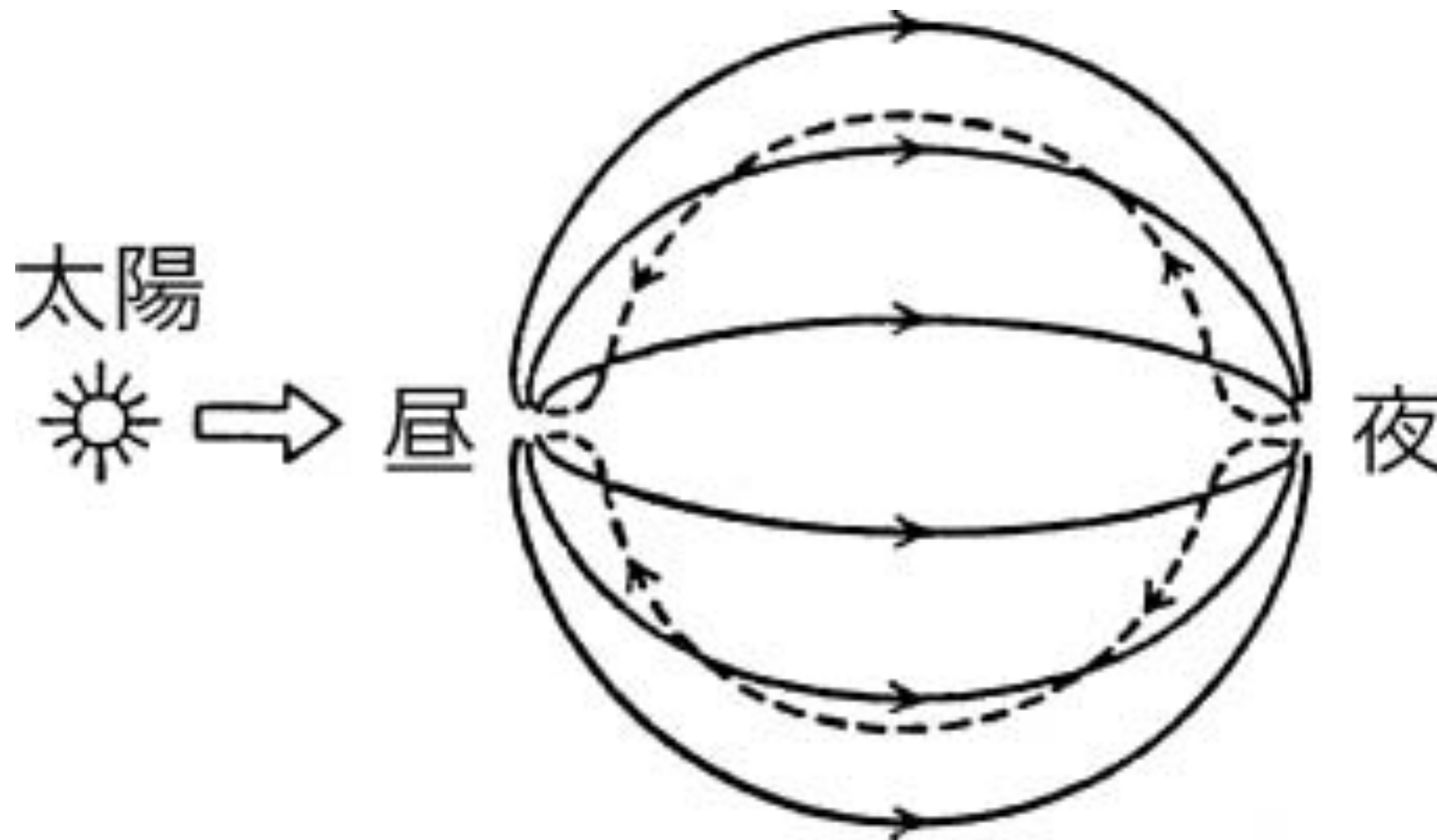
金星大気の特徴



主な大気組成	二酸化炭素	窒素、酸素
地表気圧	92 気圧	1 気圧
平均地表気温	730 K	288 K
凝結成分	硫酸（全球覆う）	水
惑星アルベド	0.78	0.30
有効放射温度	224 K	255 K

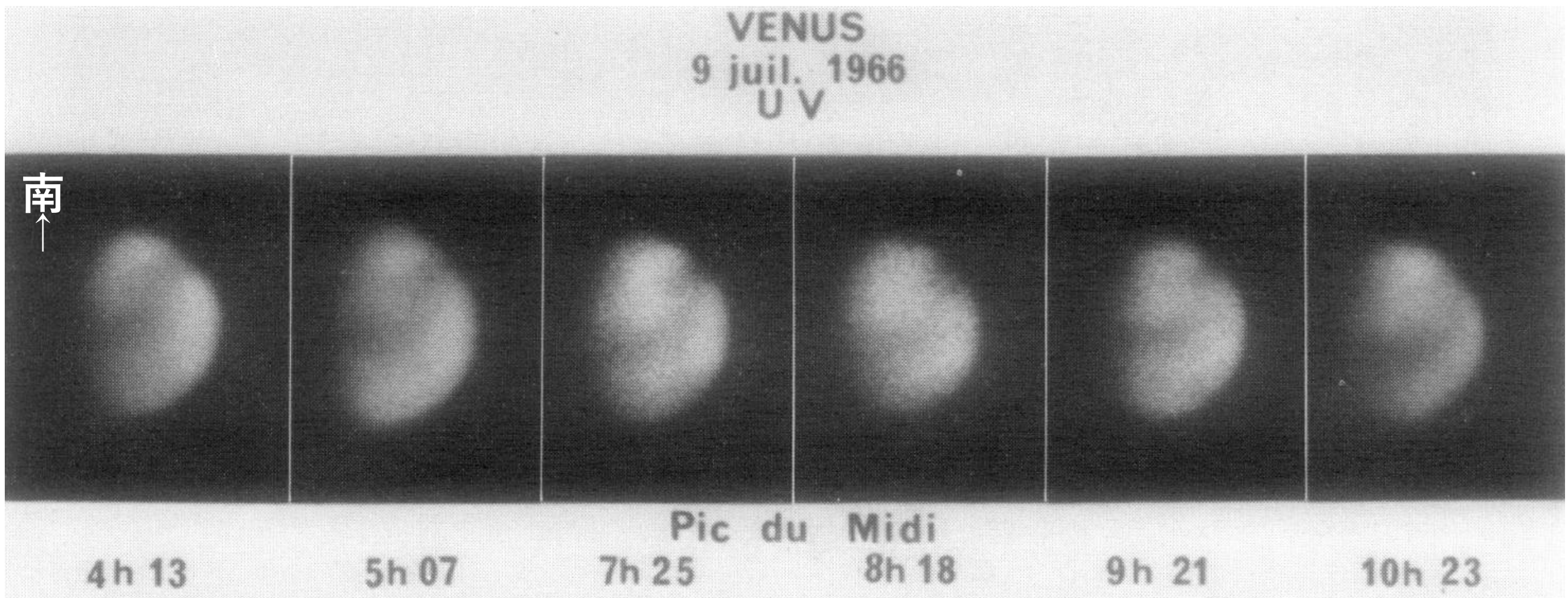
金星大気循環の特徴：昼夜間循環？

- 自転の非常に遅い金星では、昼面（太陽直下点）で上昇し、夜面（対蹠点）で下降する昼夜間対流が卓越すると考えられていた。



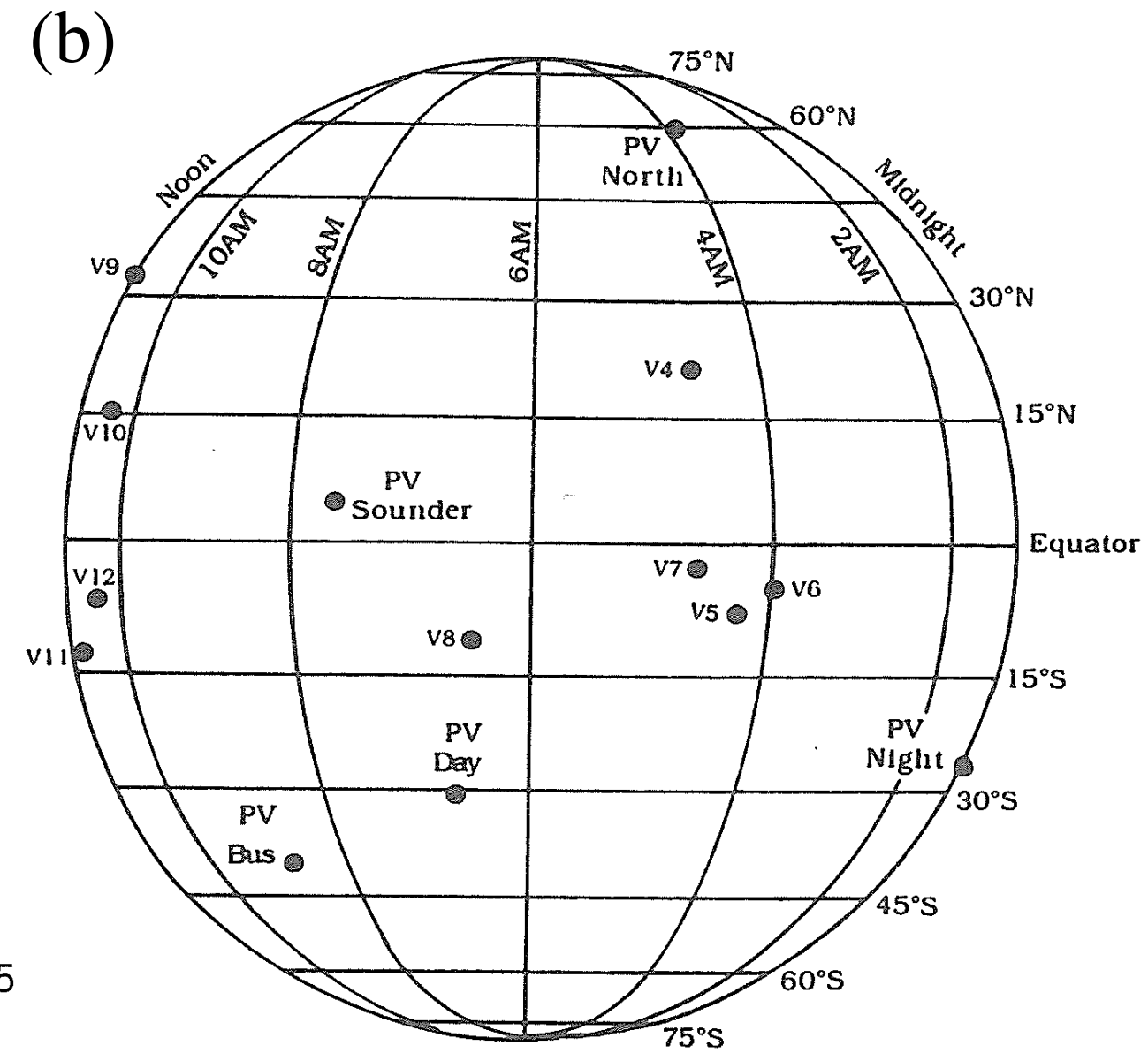
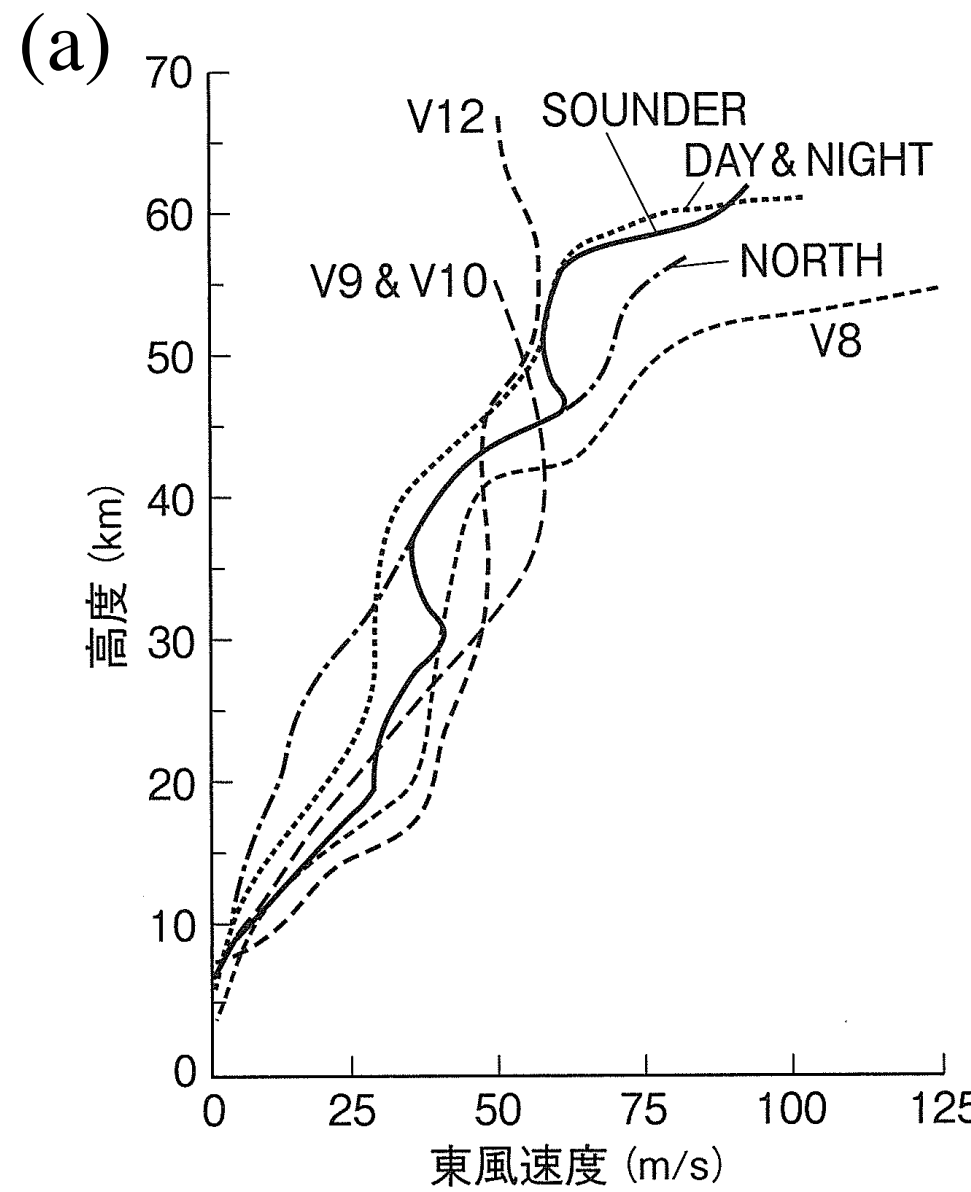
金星大気循環の特徴：スーパーローテーション

- 1960年代のBoyerらによる地上望遠鏡による紫外線観測によって、大気は高速で西向きに回転しており、4日で1周していることが示唆された。
 - 4日循環あるいはスーパーローテーションと呼ばれる。



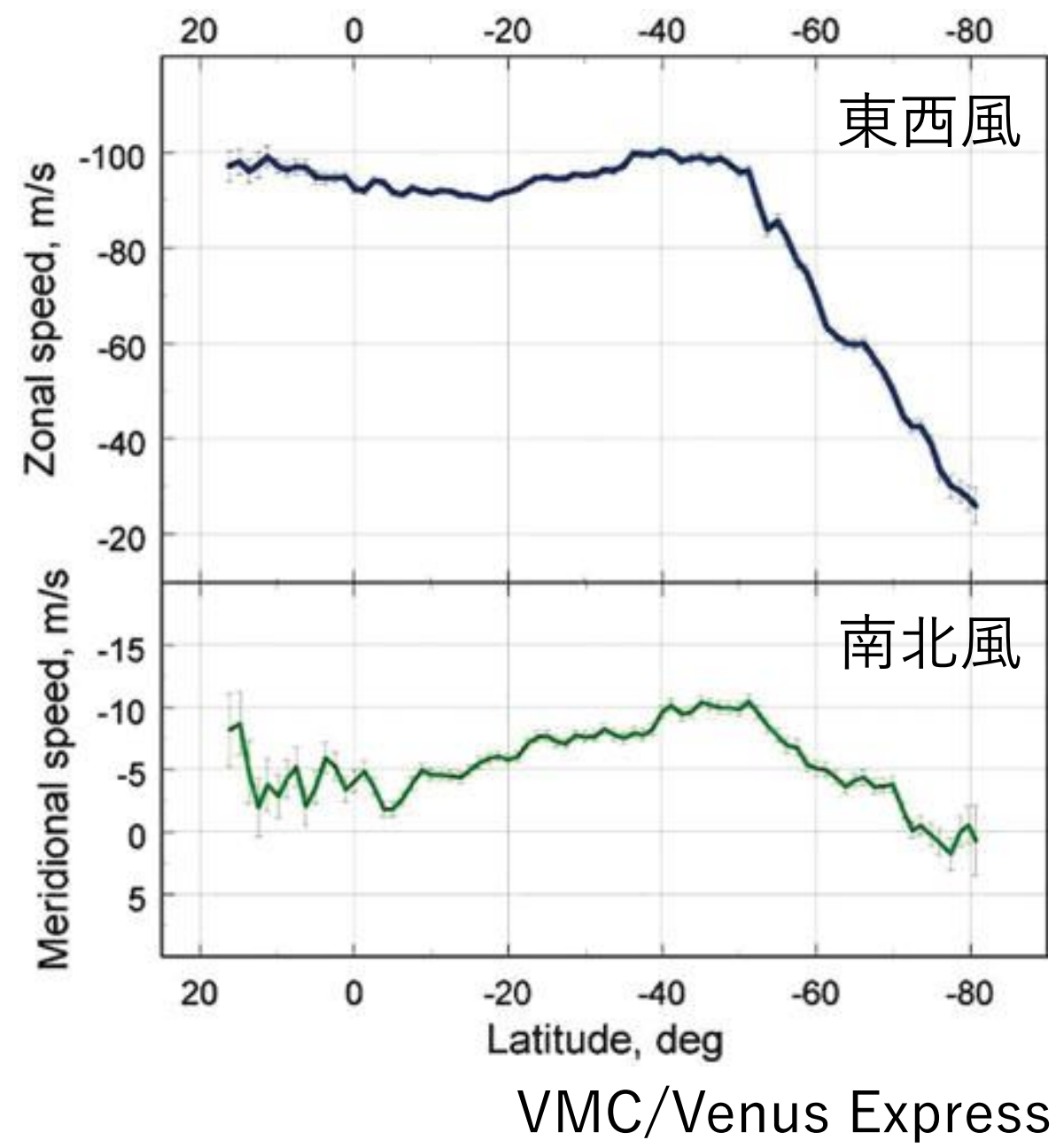
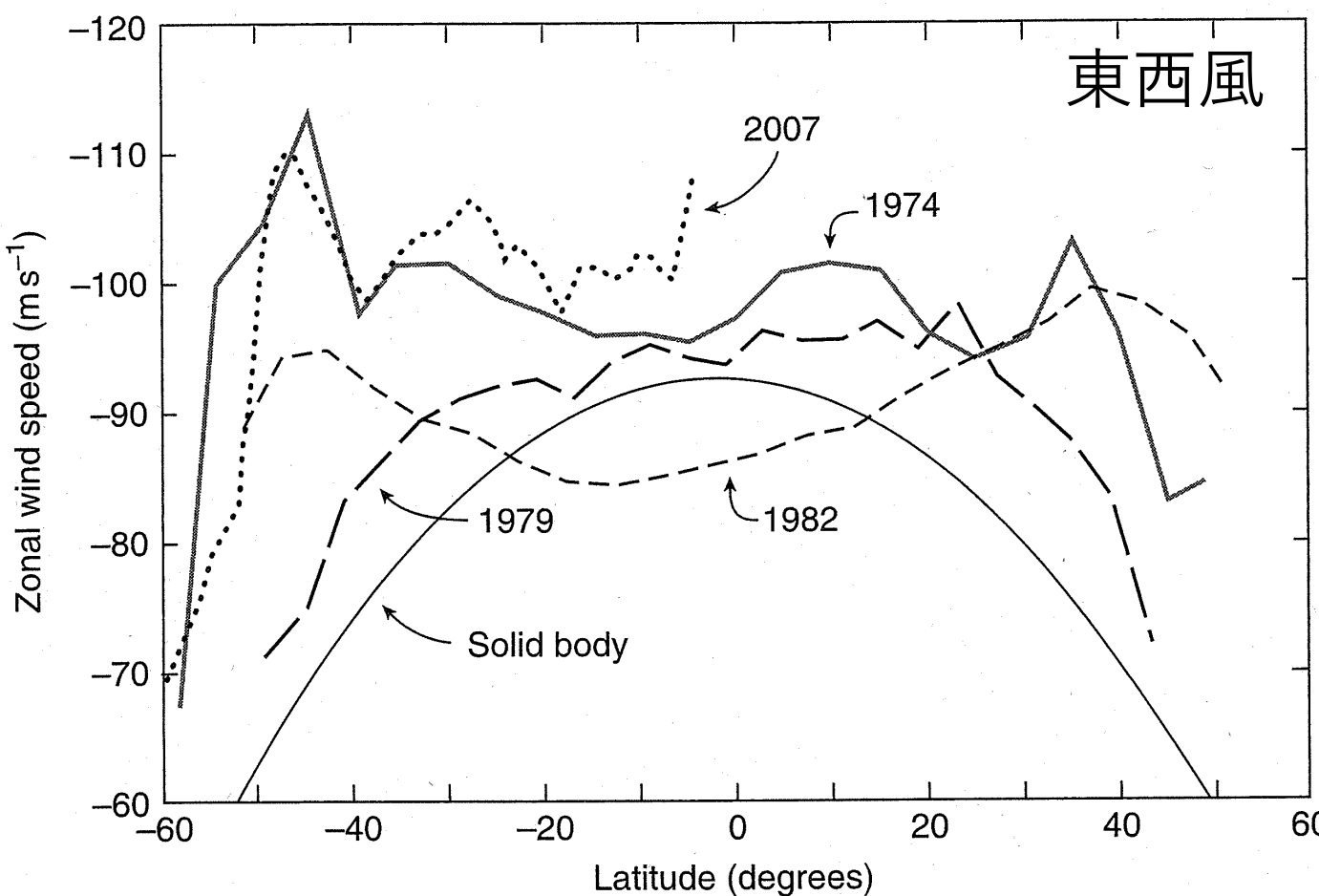
金星大気循環の特徴：スーパーローテーション

- その後、旧ソ連と米国の探査機による直接観測により、様々な緯度や地方時において東風が高度 60 km 付近で 100 m/s に達することが明らかになった。



金星大気循環の特徴：水平風速分布

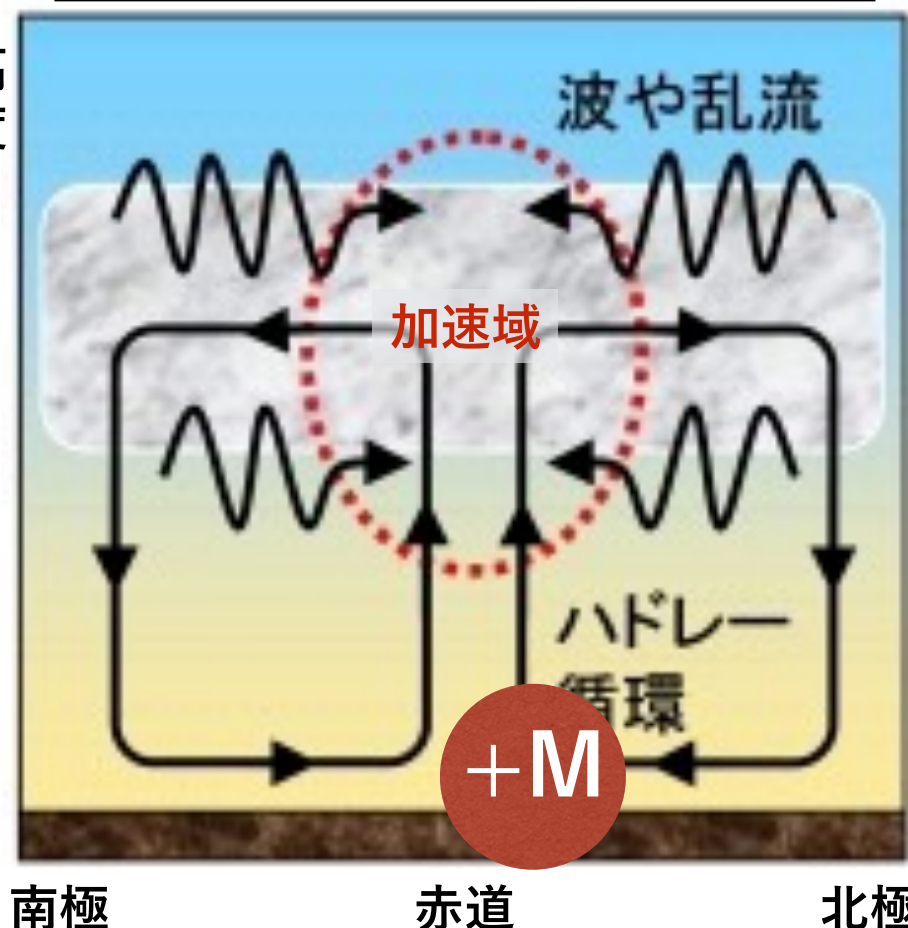
- また、硫酸雲の濃淡模様を追跡することで、雲層上部（高度約 65 km）の蜃面の平均的な水平風速分布が推定されている。



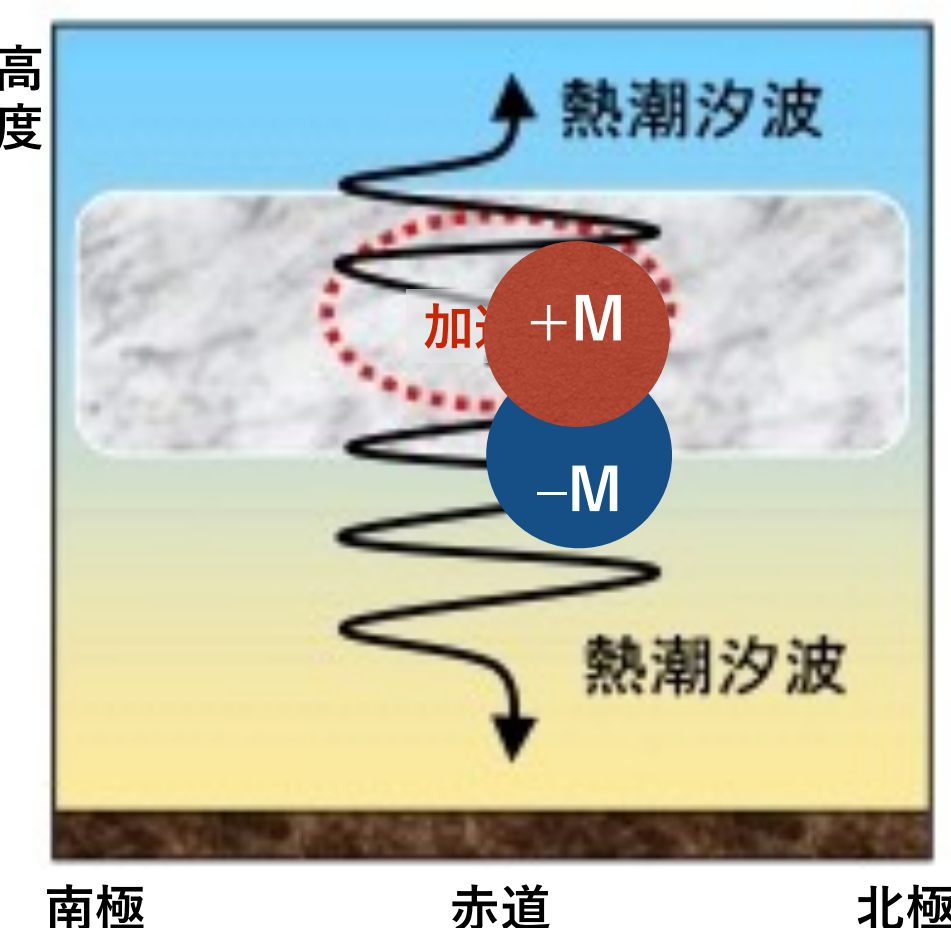
スーパーローーションの謎と仮説

- 地表面との摩擦・鉛直粘性によって、大気は減速されるはず。
 - 上空に西向き角運動量を供給し続けるメカニズムが必要。
- 提案されている生成・維持メカニズムの仮説

子午面循環に着目した仮説
(Gierasch 1975; Matsuda 1980)



熱潮汐波（重力波）に着目する仮説
(Fels & Lindzen 1974; Takagi & Matsuda 2005)



- 子午面循環、波や乱流、熱潮汐波の詳細を観測的に求めることは難しい。
→数値シミュレーションによる研究

今日のお話 | ここまでまとめ

① 金星大気循環の特徴

- ・金星は、自転が遅くて、空気が濃く、全球雲で覆われている
- ・大気は自転より約60倍も速く回転 = スーパーローテーション
- ・子午面循環 説 と 熱潮汐波 説の 2つの仮説

② 大気大循環モデル (GCM) による研究

③ 金星AFESを用いた高解像度計算 with 金星探査機あかつきの観測

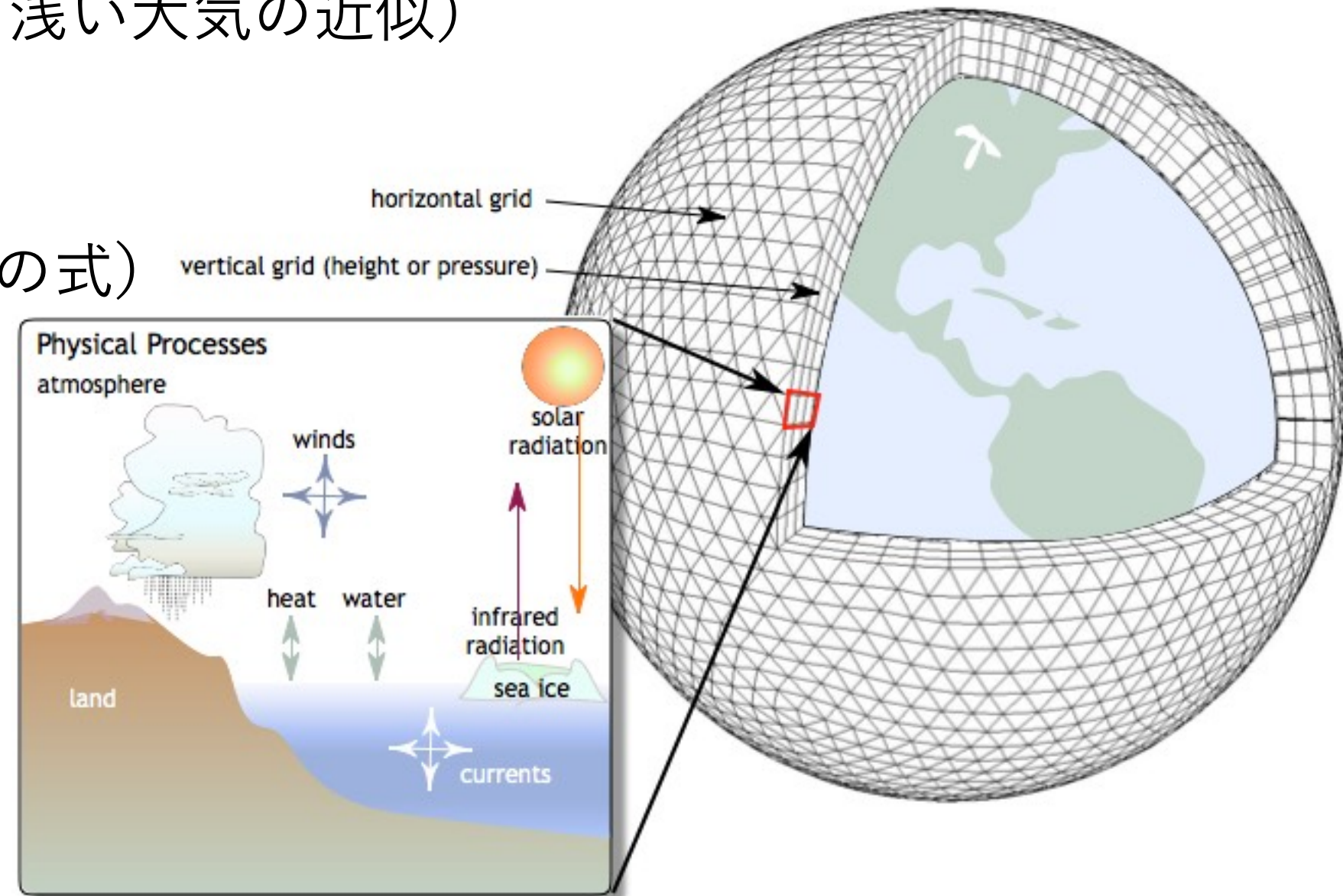
大気大循環モデルによる研究

2

13

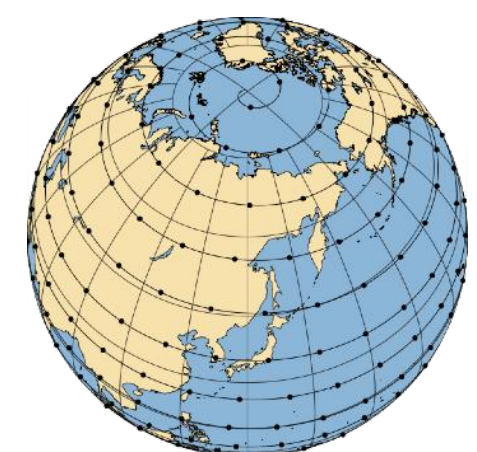
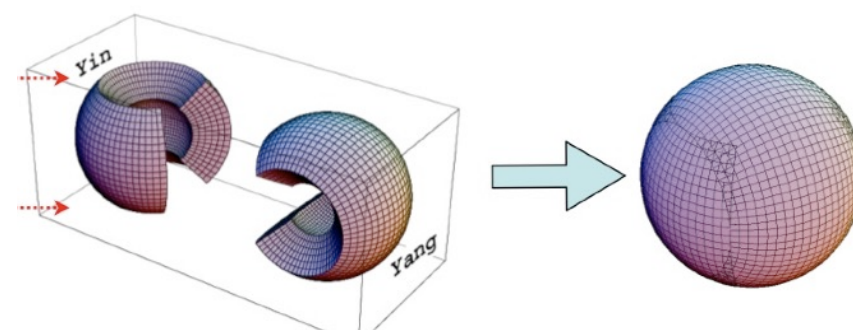
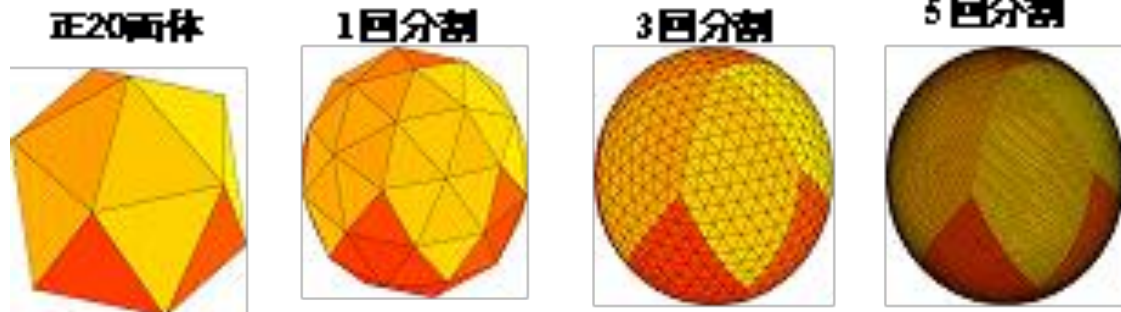
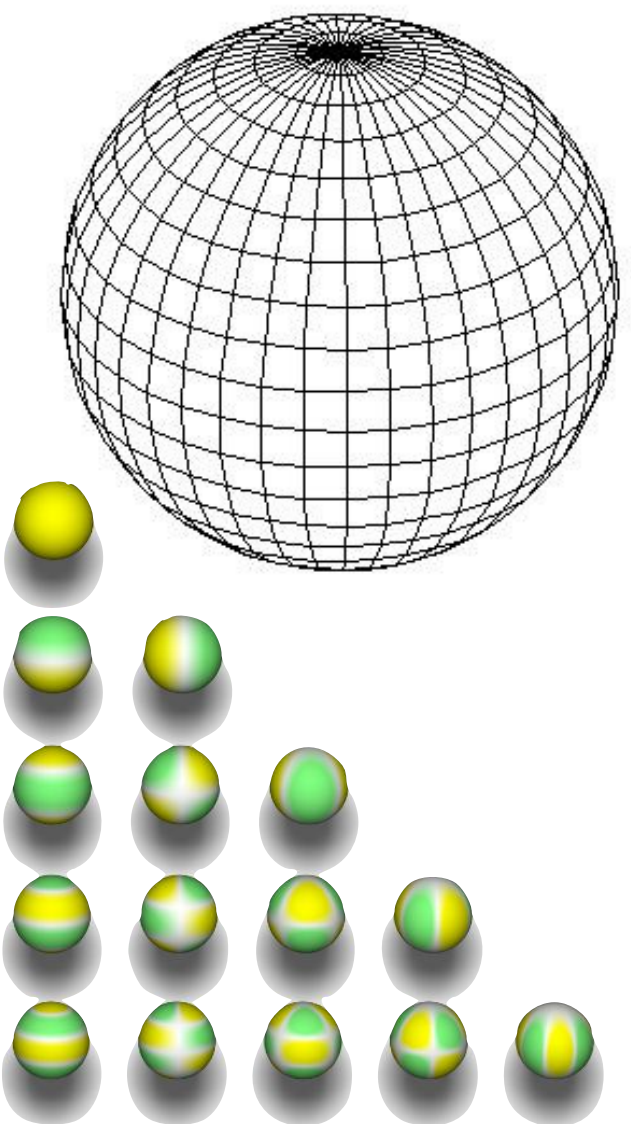
大気大循環モデルとは

- 球面上の大気の支配方程式（微分方程式）を数値的に解くモデル
 - 力学過程（力学コア）
 - ▶ 運動方程式（ナビエストークス方程式）
 - (+ 静力学近似 + 浅い大気の近似)
 - ▶ 熱力学方程式
 - ▶ 物質移流の式
 - ▶ （状態方程式、連続の式）
 - 物理過程
 - ▶ 放射
 - ▶ 対流調節
 - ▶ 凝結・雲過程
 - ▶ 化学
 - ▶ エアロゾル微物理
 - ▶ などなど
- (海洋を含む場合は大気海洋結合モデル、植生や炭素循環なども含む場合は地球システムモデルと呼ばれる)



力学コアの数値解法

- 単純な緯度-経度格子は格子間隔が不均一。
特に、極付近で狭くなる → CFL条件が厳しくなる。
- スペクトルモデル
 - 球面調和関数で展開して、波数空間上で時間積分。
(非線形項は実空間で計算)
 - 解像度は最大波数（切断波数）で指定する。
 - ▶ T21, T42, T63, T159, …
- 格子モデル
 - 球面上の格子点の取り方を工夫することで、準一様な格子を形成。
 - ▶ 例) 正二十面体準一様格子 Yin-Yang 格子 球面螺旋格子



金星大気GCM計算の難しさ

地球大気と比べて

- **密度が高い**
 - 放射緩和時間が長い | 地球 ~50 地球日；金星 ~2万 地球日
- **自転が遅い**
 - 角運動量供給が遅い | 地球 ~ 3×10^9 ; 金星 ~ 1×10^7 [m²/s/cycle]*
 - 静止状態から（統計的）平衡状態に達するまで、長期間の積分が必要
 - 地衡流平衡（コリオリ力と気圧傾度力のバランス）ではない
 - （地球大気で有用な）準地衡モデルが使えない
- **観測が少ない**
 - 子午面循環場の検証が行えない
 - 物理過程（スキーム）の検証が行えない

*極で $u = 0$ の大気が、地表面摩擦を受けながら赤道まで $u = 0$ のまま移動した場合に受け取る単位密度当たりの角運動量

金星大気GCM研究の歩み

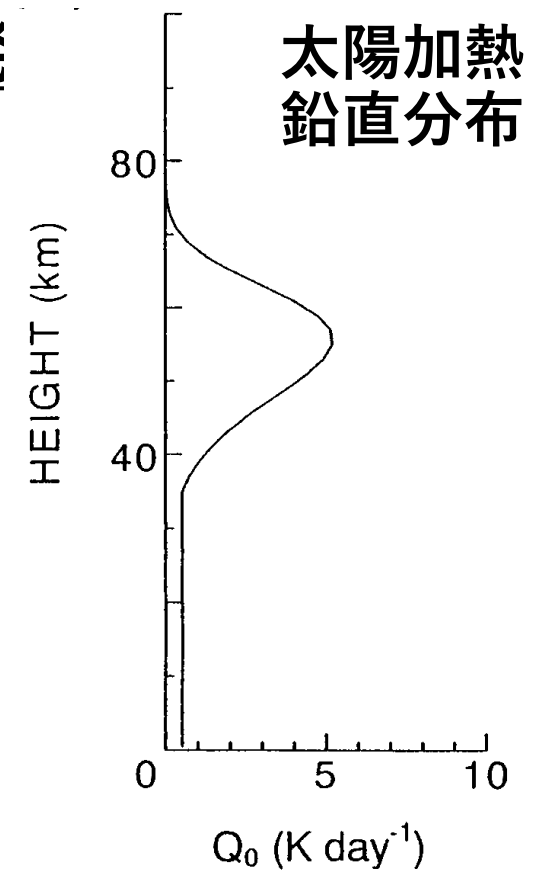
- 動機：スーパーローテーションの再現・メカニズムの解明
- 20世紀：変わり者(?)がたまに実施
 - Kalnay de Rivas (1975) : 東西波数 4 までの準自転軸対称モデル
 - Young & Pollack (1977) : 切断波数 10、積分時間が不足
 - Rossow & Williams (1980) : 水平 2 次元モデル
 - Matsuda (1982) : 少数モード展開モデル（多重解を示す）
 - Del Genio & Zhou (1996) : 地球GCMで自転を遅くした計算
- ✓ 解像度や時間積分の不足・理想化された設定

→ 金星大気シミュレーションというよりは、
スーパーローテーションメカニズムの仮説の数値的研究
- ▶ 私のD論 [Yamamoto (Kashimura) & Yoden 2013, 2015] もこれらに近い
 - 自転軸対称 2 次元モデル、ブシネスク流体、パラメータスイープ

金星大気GCM研究の歩み

• 2000年代：金星大気GCMの開発・研究が世界各国で活発

- 日本 : Yamamoto & Takahashi (2003a,b, 2004, 2006)
 - 英国 : Lee et al. (2005, 2007), Lee (2006)
 - 米国 : Hollingsworth et al. (2007)
- ✓ 3次元GCMではあるものの、ほぼ力学のみのモデル
放射強制は ニュートン冷却と太陽加熱関数で与える



→スーパーローテーションの生成・維持に成功

✓ ただし、下層に非現実的に強い加熱が必要

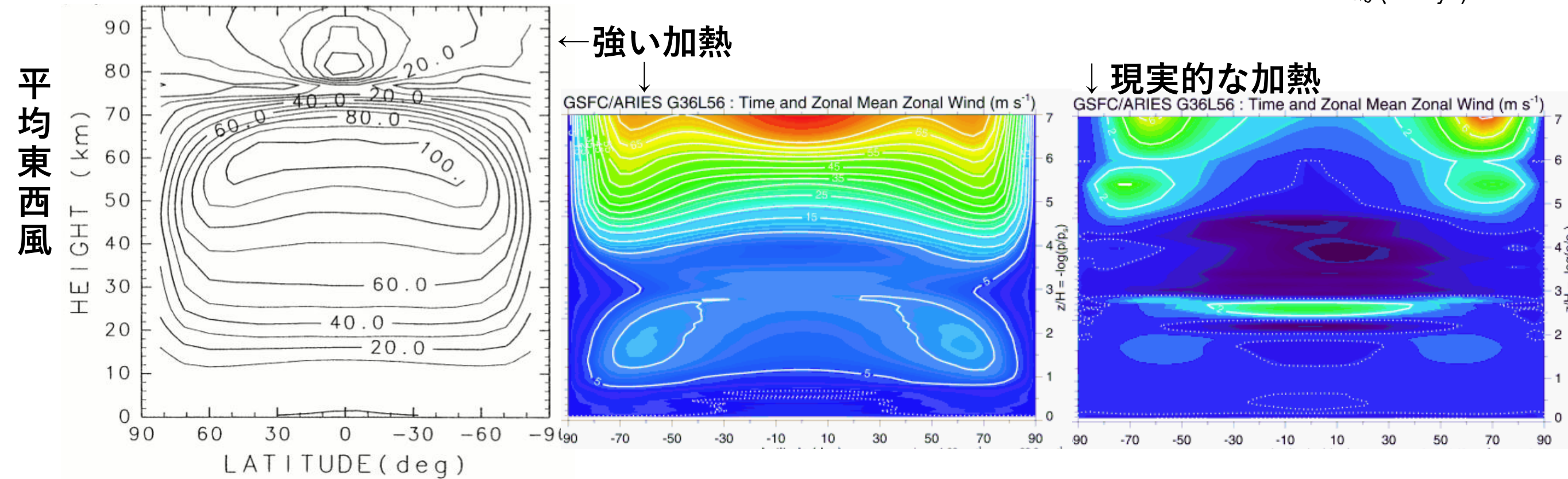
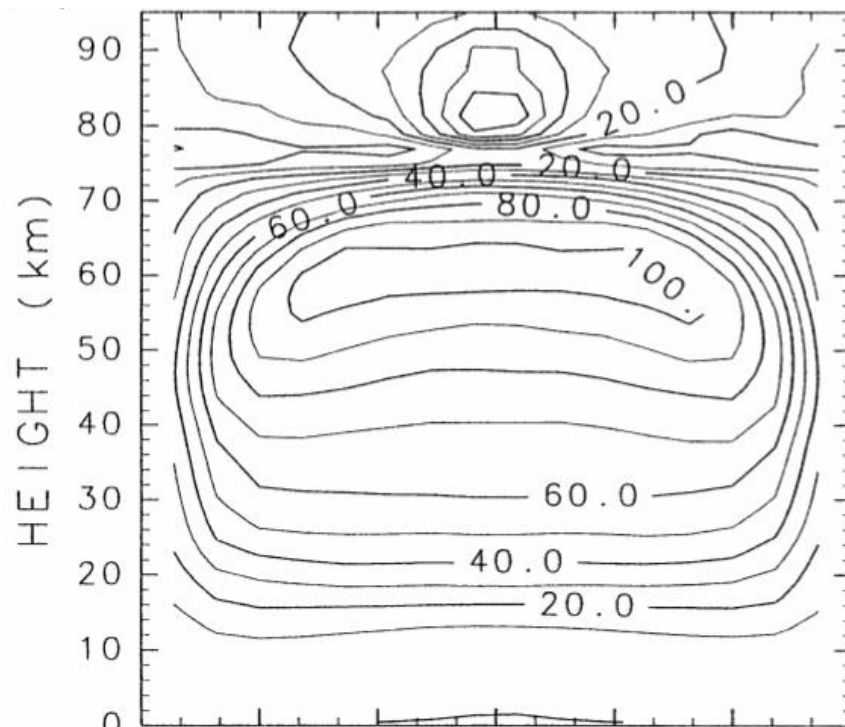


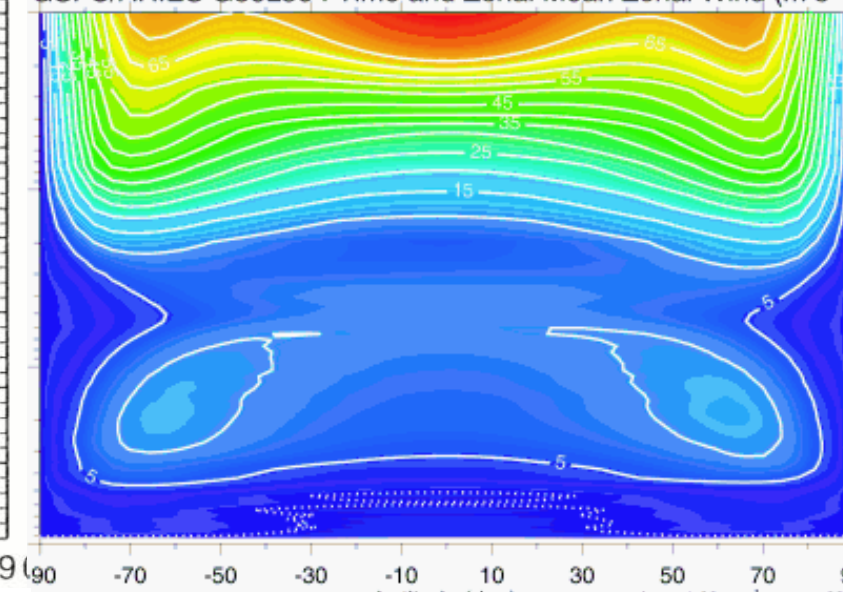
図 : Yamamoto & Takahashi (2003a), Hollingsworth et al. (2007)

平均東西風



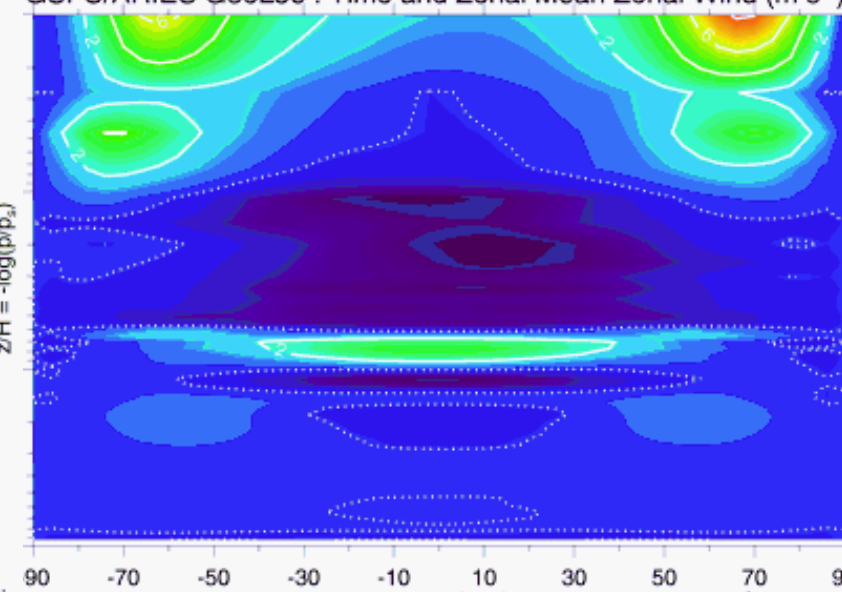
← 強い加熱

GSFC/ARIES G36L56 : Time and Zonal Mean Zonal Wind ($m s^{-1}$)

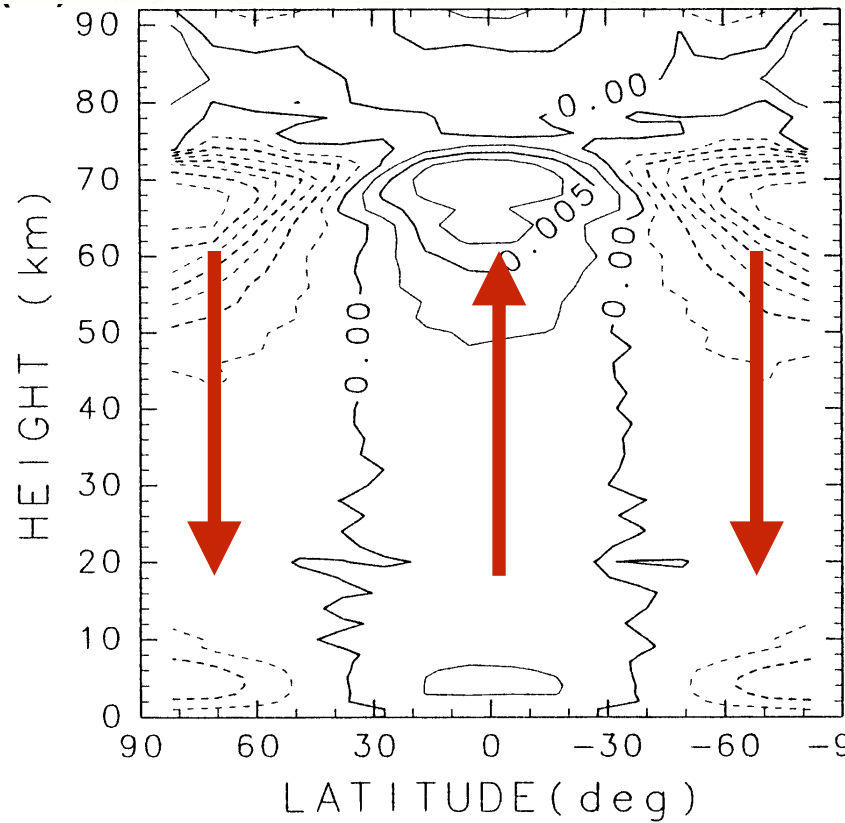


↓ 現実的な加熱

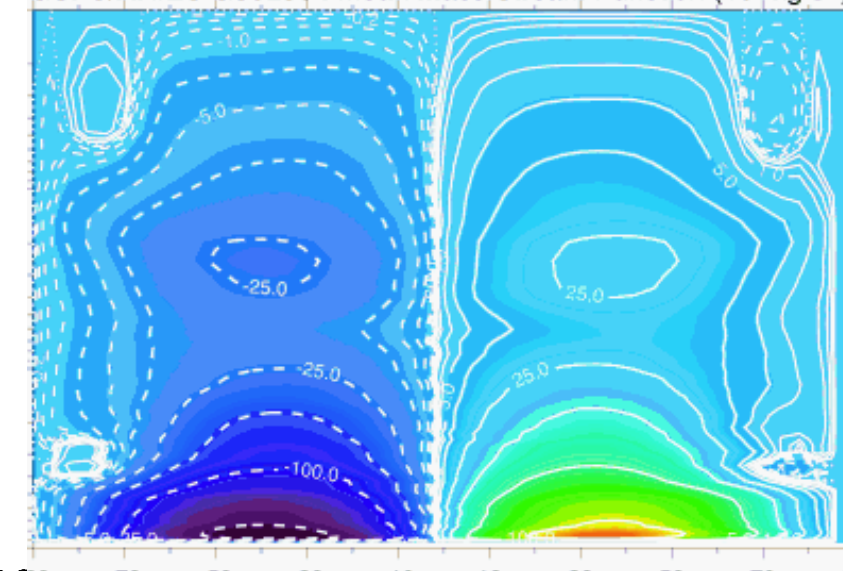
GSFC/ARIES G36L56 : Time and Zonal Mean Zonal Wind ($m s^{-1}$)



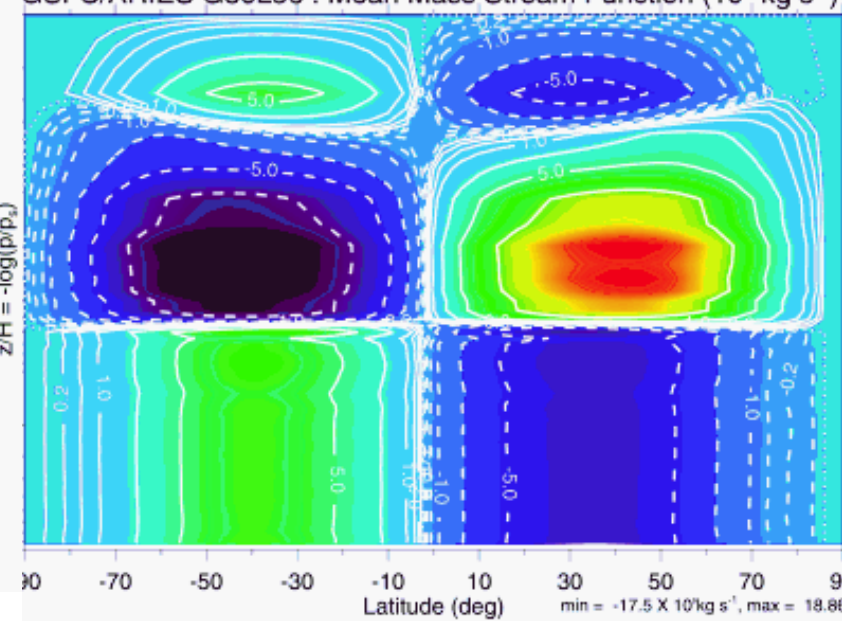
平均鉛直流／子午面循環



GSFC/ARIES G36L56 : Mean Mass Stream Function ($10^9 kg s^{-1}$)



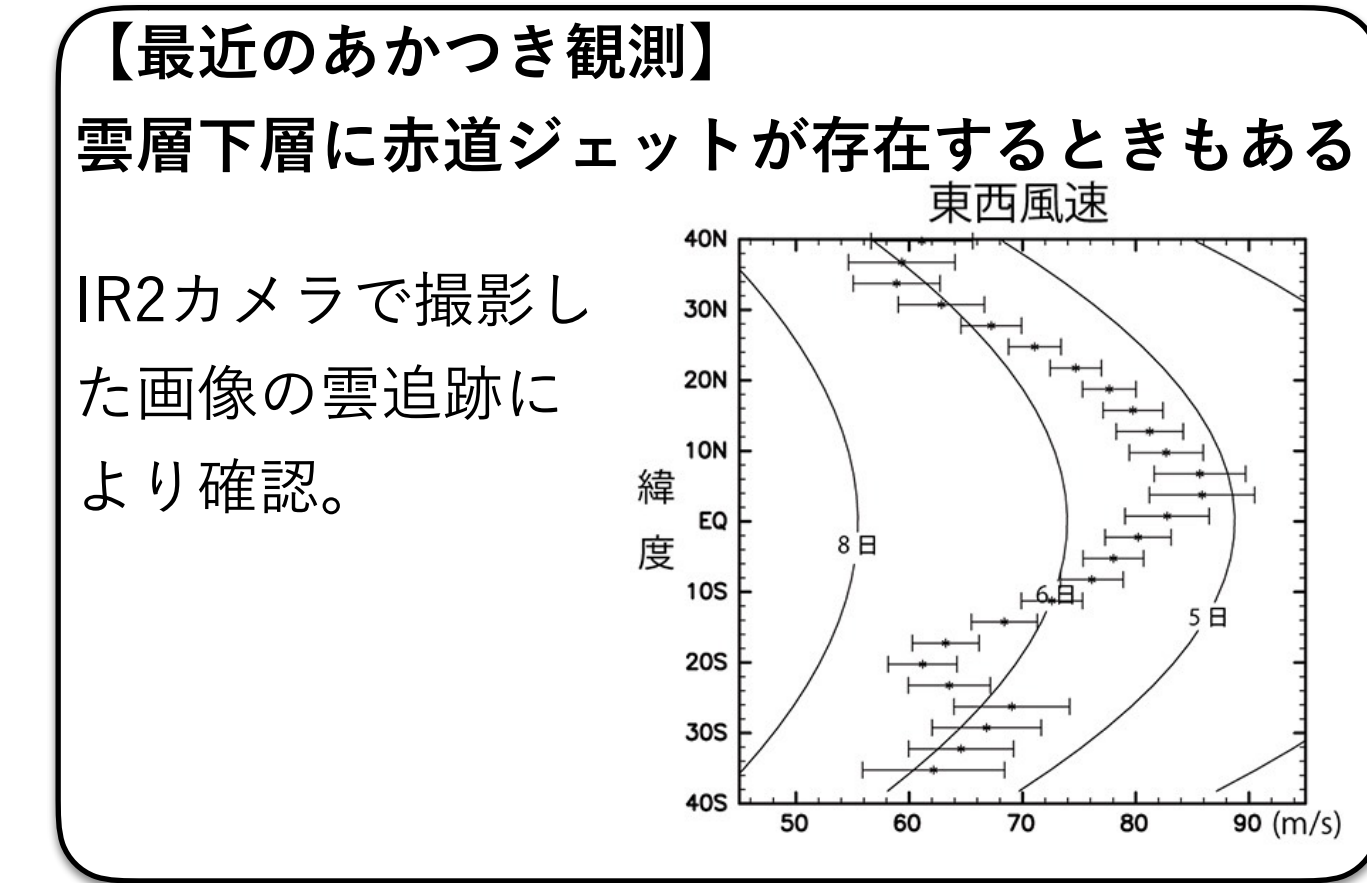
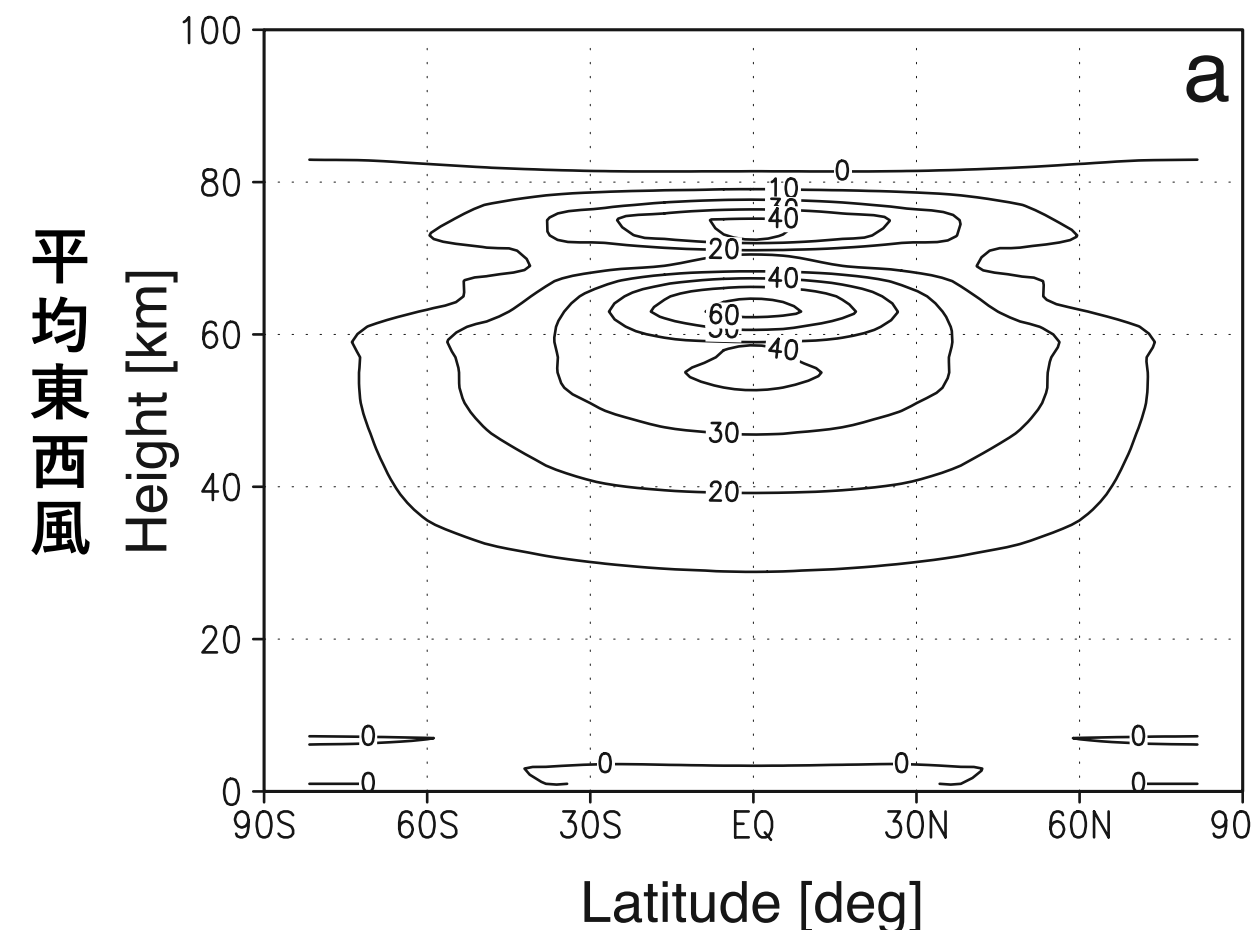
GSFC/ARIES G36L56 : Mean Mass Stream Function ($10^9 kg s^{-1}$)



- 強い加熱を与えれば、GCMで「子午面循環仮説」が働くことを示した。
 - ただし、これらは日変化加熱（熱潮汐）を排除した設定。

金星大気GCM研究の歩み

- 2000年代：金星大気GCMの開発・研究が世界各国で活発化
 - 日本：Takagi & Matsuda (2007)
 - ▶ モデルの複雑さは前頁のモデルと同様。
 - ▶ 南北加熱差を排除して、日変化加熱のみを与えた。
 - ✓ 「熱潮汐波仮説」によりスーパーローテーションが生成しうることを示した。
 - ✓ 東西風分布は、赤道に風速が集中しており、現実的でない？



金星大気GCM研究の歩み

- 2010年代：計算資源が潤沢に

- Lee & Richardson (2010)

- Lebonnois et al. (2013)

- ▶ 複数のGCM/力学コアによる相互比較実験

- ▶ 水平解像度は $5^\circ \times 5^\circ$ 程度

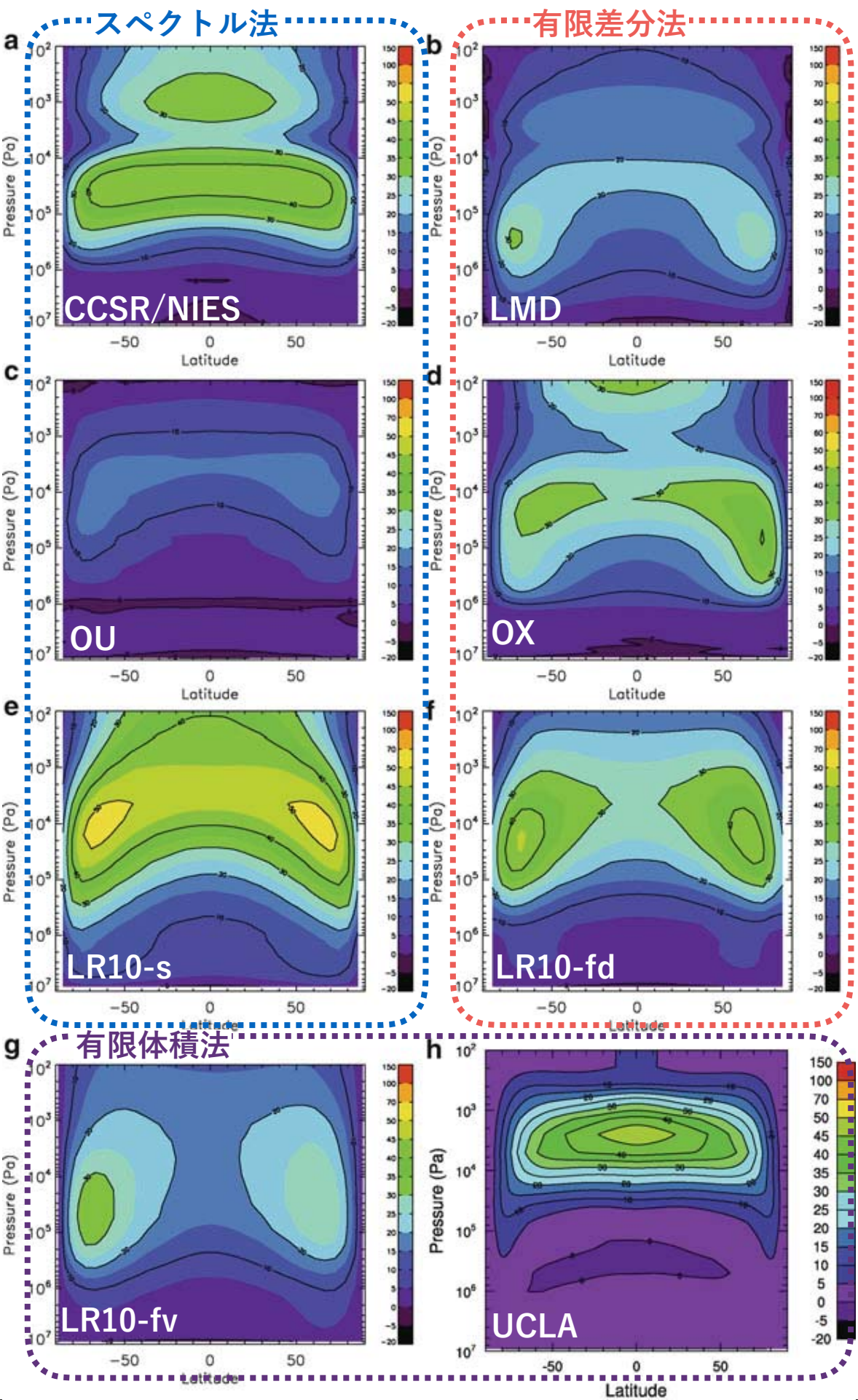
- ▶ ほぼ力学のみ

- ▶ ニュートン加熱冷却

- ▶ 日変化加熱なし

- 拡散表現や数値解法に依存して、数値解が大きく異なる結果に！

平均東西風



金星大気GCM研究の歩み

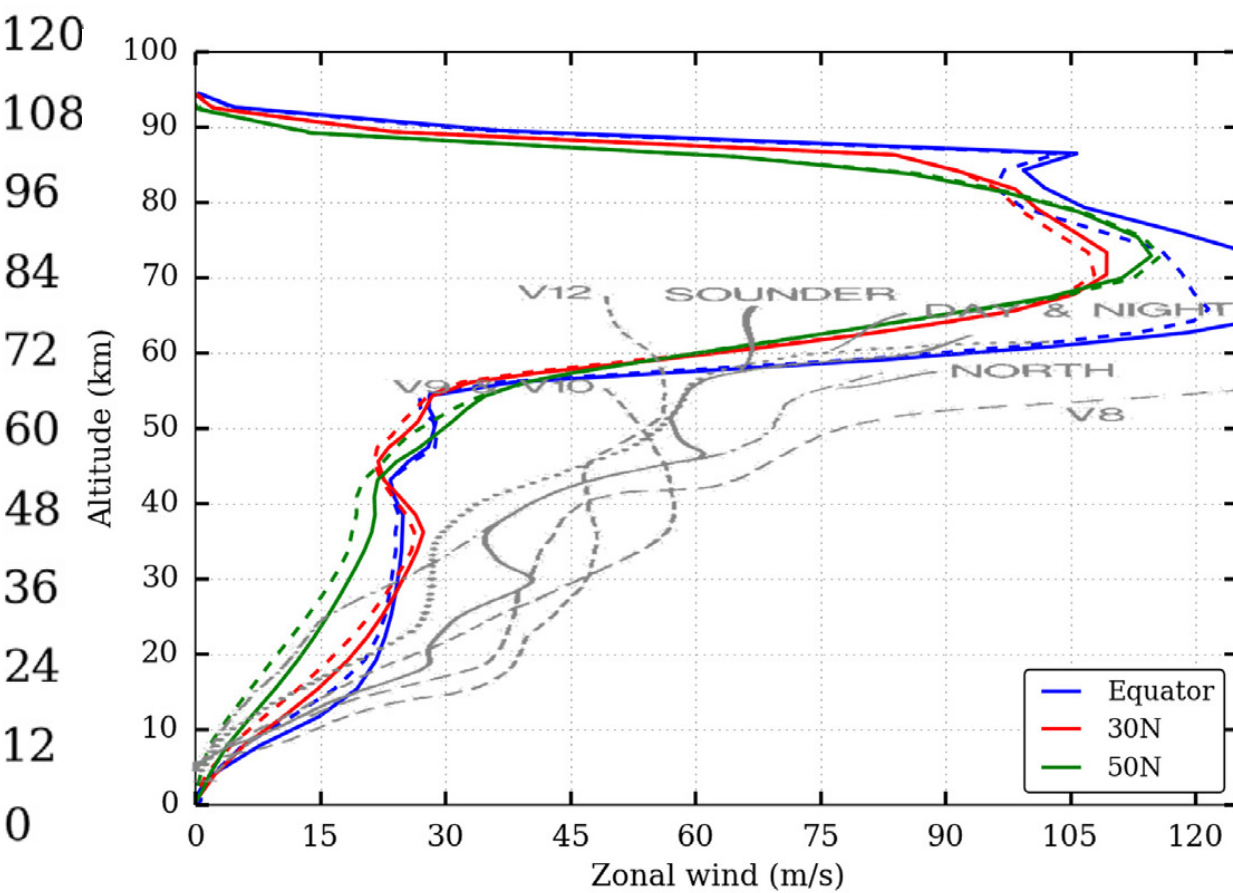
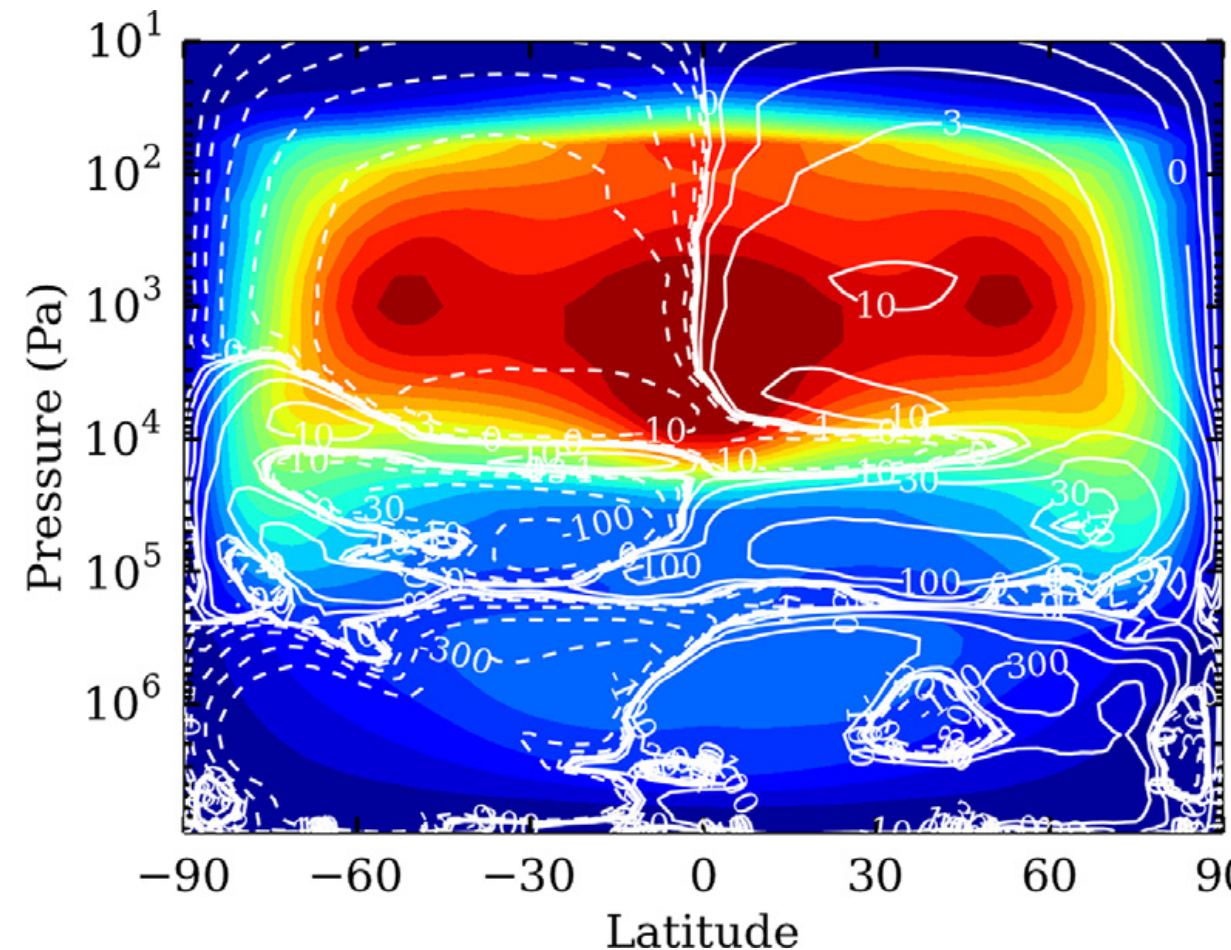
- 2010年代：計算資源が潤沢に

- Ikeda et al. (2011)
- Lebonnois et al. (2010, 2016)

▶ 放射伝達をはじめに計算 / 日変化・地形含む

→ スーパーローテーションが生成・維持されるが、
大気下層の東西風速が小さすぎる

平均東西風



金星大気GCM研究の歩み

- 2010年代：計算資源が潤沢に

- Kashimura et al. (in prep, in prep)
 - ▶ based on Sugimoto et al. (2014a,b), Ando et al. (2016, 2017)
 - ▶ 高解像度計算
 - ▶ ニュートン冷却 + 太陽放射関数（現実的な強さ）
 - ▶ 初期にスーパーローーション流を与える
 - ▶ 循環場で見られる、諸現象を解析
 - ✓ 波動、周極低温域、ストリーク構造（あとで詳しく）
 - ✓ 運動エネルギースペクトル → $-5/3$ 乗則が低波数まで

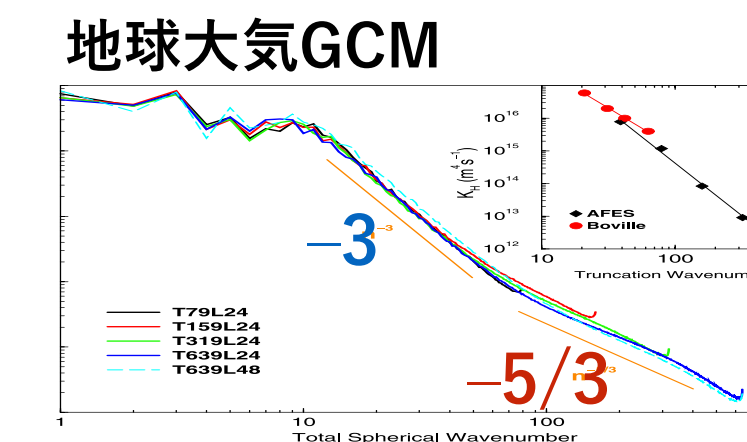
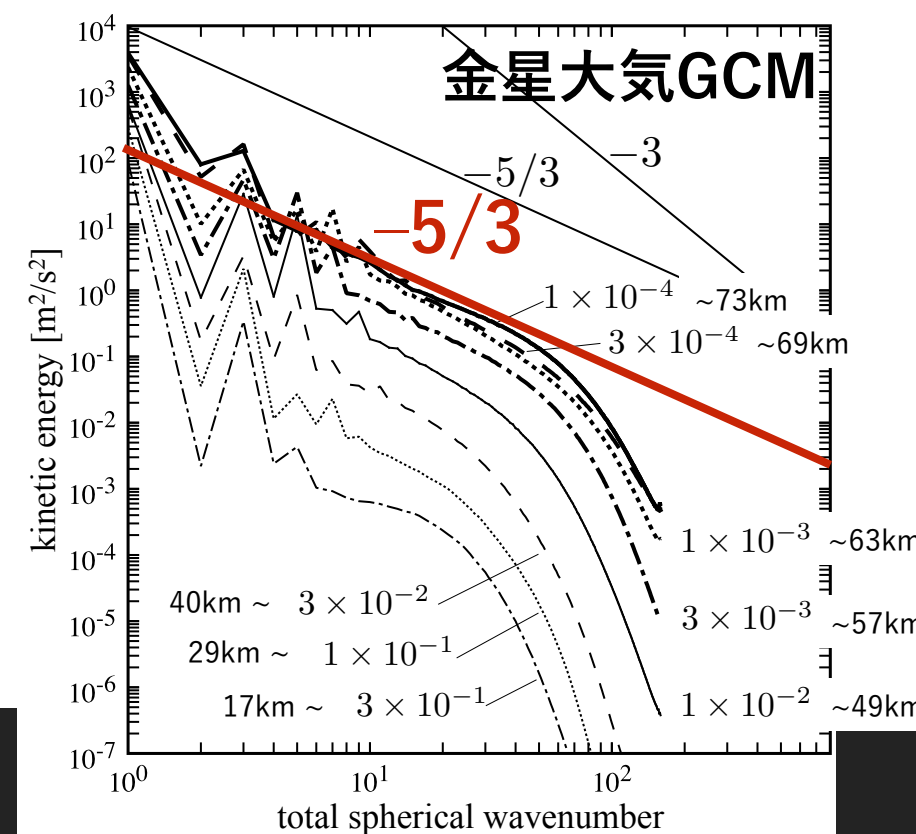


図 : Kashimura et al. (in prep), Takahashi et al. (2006)

今日のお話 | ここまでまとめ

① 金星大気循環の特徴

- ・ 金星は、自転が遅くて、空気が濃く、全球雲で覆われている
- ・ 大気は自転より約60倍も速く回転 = スーパーローテーション
- ・ 子午面循環 説と熱潮汐波 説の2つの仮説

② 大気大循環モデル (GCM) による研究

- ・ 長期積分が必要・観測が少ない = 金星大気計算の難しさ
- ・ 2000年代までは力学モデル、なのにモデル間のバラツキ 大
- ・ 2010年以降、モデル間相互比較・高度複雑化・高解像度化

③ 金星AFESを用いた高解像度計算 with 金星探査機あかつきの観測



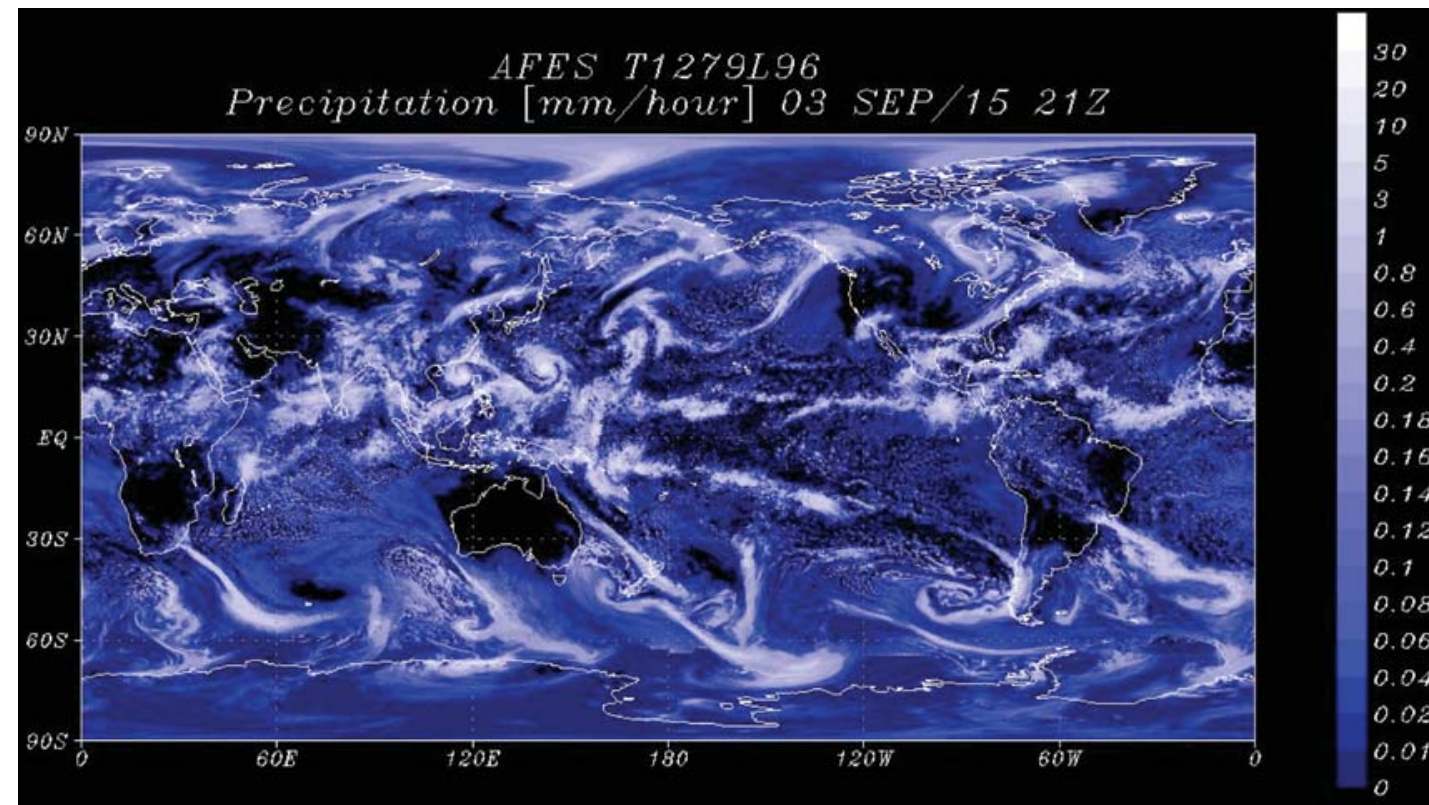
金星AFESによる高解像度計算 with 金星探査機あかつきの観測



3

AFESとは？

- AFES = Atmospheric GCM For the Earth Simulator
(Ohfuchi et al. 2004; Enomoto et al. 2008)
 - 地球シミュレータ（ES）に最適化された地球仕様の大気大循環モデル
 - 静力学近似を用いたナビエストークス方程式（プリミティブ方程式）を解く
 - 球面調和関数展開を利用したスペクトルモデル
 - 1998年から初代ESをターゲットとして開発が始まり、
2003年に全球10km格子・鉛直96層（T1279L96）の高解像度計算を実現。



- 初代ESの全システムを使って、ピーク性能比65% (26.58TFLOPS) を達成。

金星AFESとは？

- 地球シミュレータ公募課題
『AFES を用いた地球型惑星の大気大循環シミュレーション』(2006–2014)
『AFES を用いた火星・金星大気の高解像度大循環シミュレーション』(2015–)のもとで、AFESを金星化したもの。(開発は高木征弘准教授、杉本憲彦准教授)
- ほぼ力学モデル。2000年代の金星GCMと同じ。
- さまざまな解像度で計算を実施してきた。

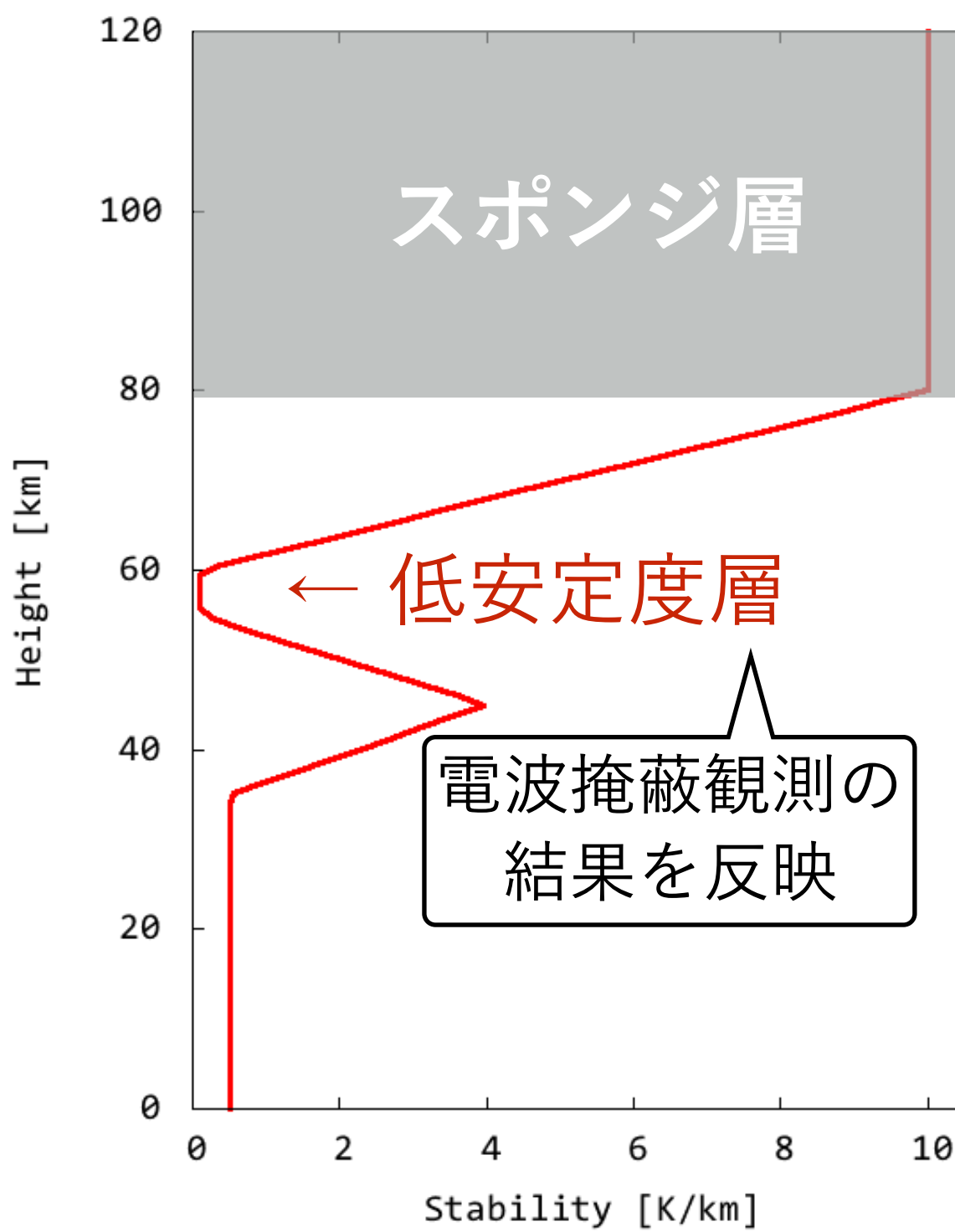
切斷波数	~水平格子間隔	鉛直層数／層間隔	備考	
T21	5.6° × 5.6°	600 km	60	2 km 2000年代の金星GCMの典型的な解像度
T42	2.8° × 2.8°	300 km	60	2 km
T63	1.9° × 1.9°	200 km	120	1 km
T159	0.75° ×	80 km	120	1 km ESの80 node×4 cpuで180日積分/24h
T319	0.35° ×	40 km	240	0.5 km ESの80 node×4 cpuで20日積分/24h
T639	0.19° ×	20 km	120	1 km ESの80 node×4 cpuで4日積分/24h

- 最近では、金星AFESを用いたデータ同化システムも開発(Sugimoto et al. 2017)。

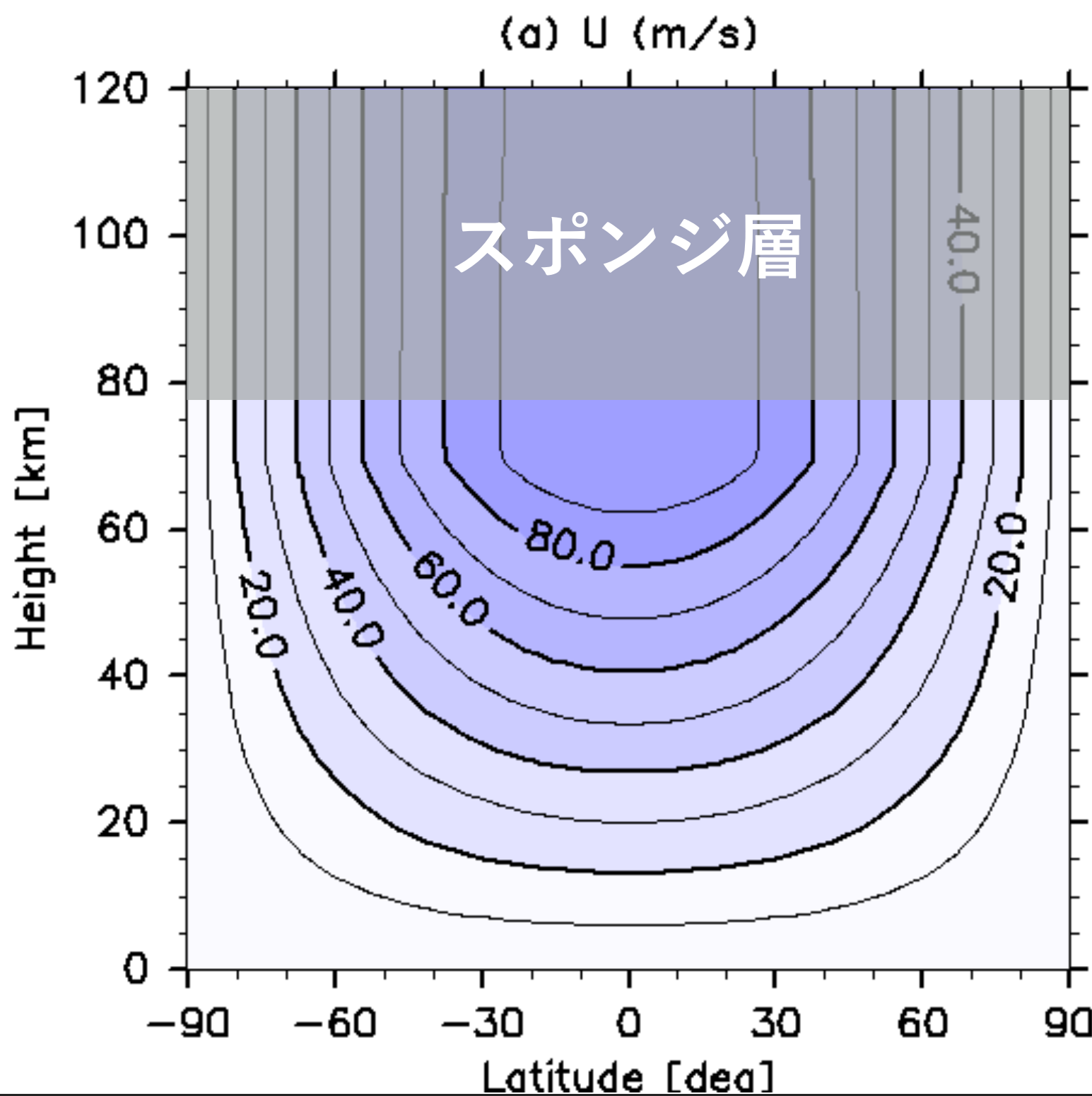
簡易金星版 AFES 計算設定

- 空間解像度：
 - 切断波数 T159 ($\sim 0.75^\circ \times 0.75^\circ$; 水平 480×240 格子)
 - 鉛直層数 L120 ($\Delta z \sim 1\text{km}$; シグマ座標 = 地表気圧で規格化した気圧座標)
- 放射過程は簡易：
 - 水平一様なニュートン冷却 と 日変化含む太陽加熱 (0–80 km; 60–70kmで強い)
 - 基準温度場に 低安定度層 (55–60km) を配置
- 雲・湿潤過程なし・地形なし・乾燥対流調節なし
- 大気上端での波の反射を防ぐための スポンジ層 ($\geq 80\text{km}$)
- 渦粘性 (解像できないスケールの乱流の効果)
 - 4次の水平超粘性 (∇^4) — 切断波数に対する緩和時間 0.01 地球日
 - 鉛直渦粘性 — 係数 $0.15 \text{ m}^2\text{s}^{-1}$
- 自転は地球と同じ向き
- 初期値：基準温度場と温度風平衡にあるスーパーローテーション流
- 積分期間：4 地球年

ニュートン冷却の 基準温度場の安定度 (Sugimoto et al. 2013)

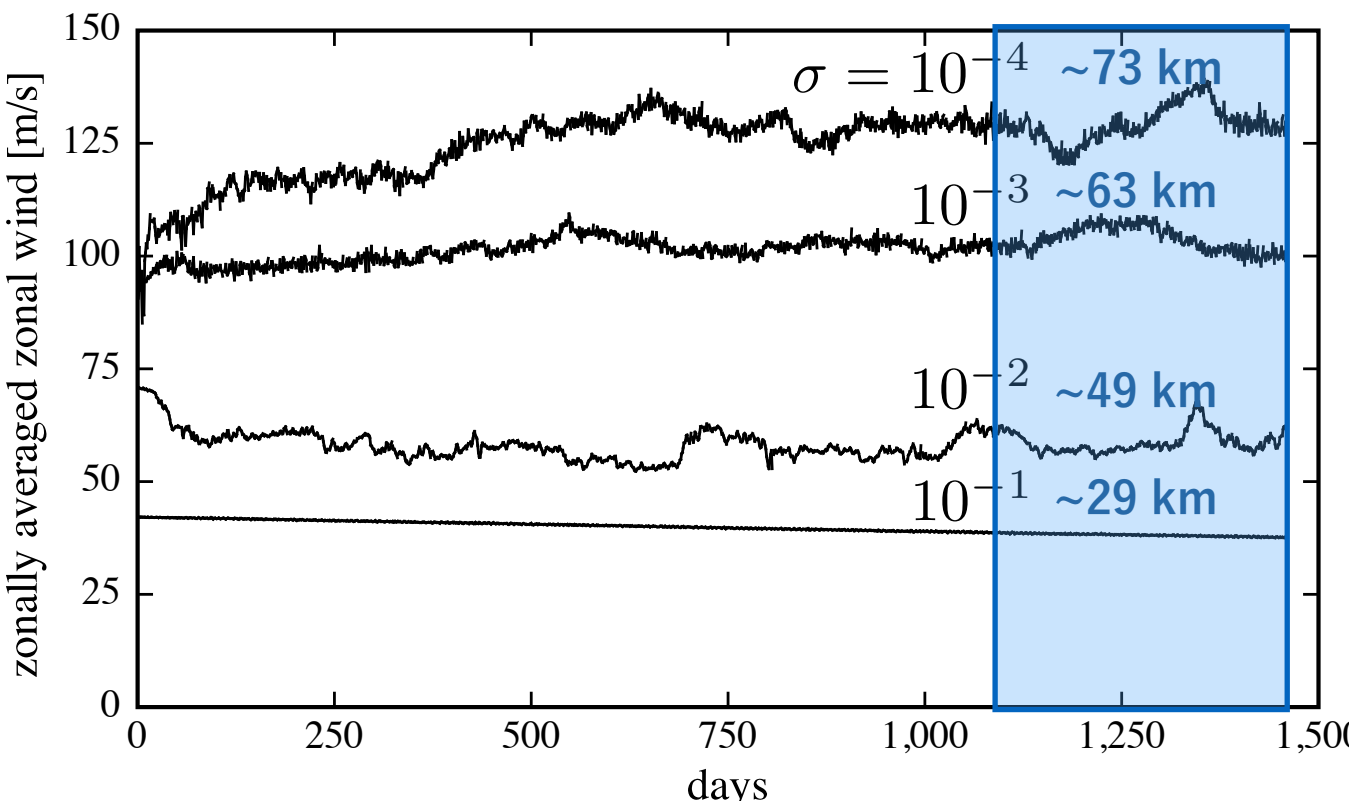


初期スーパー逆行流



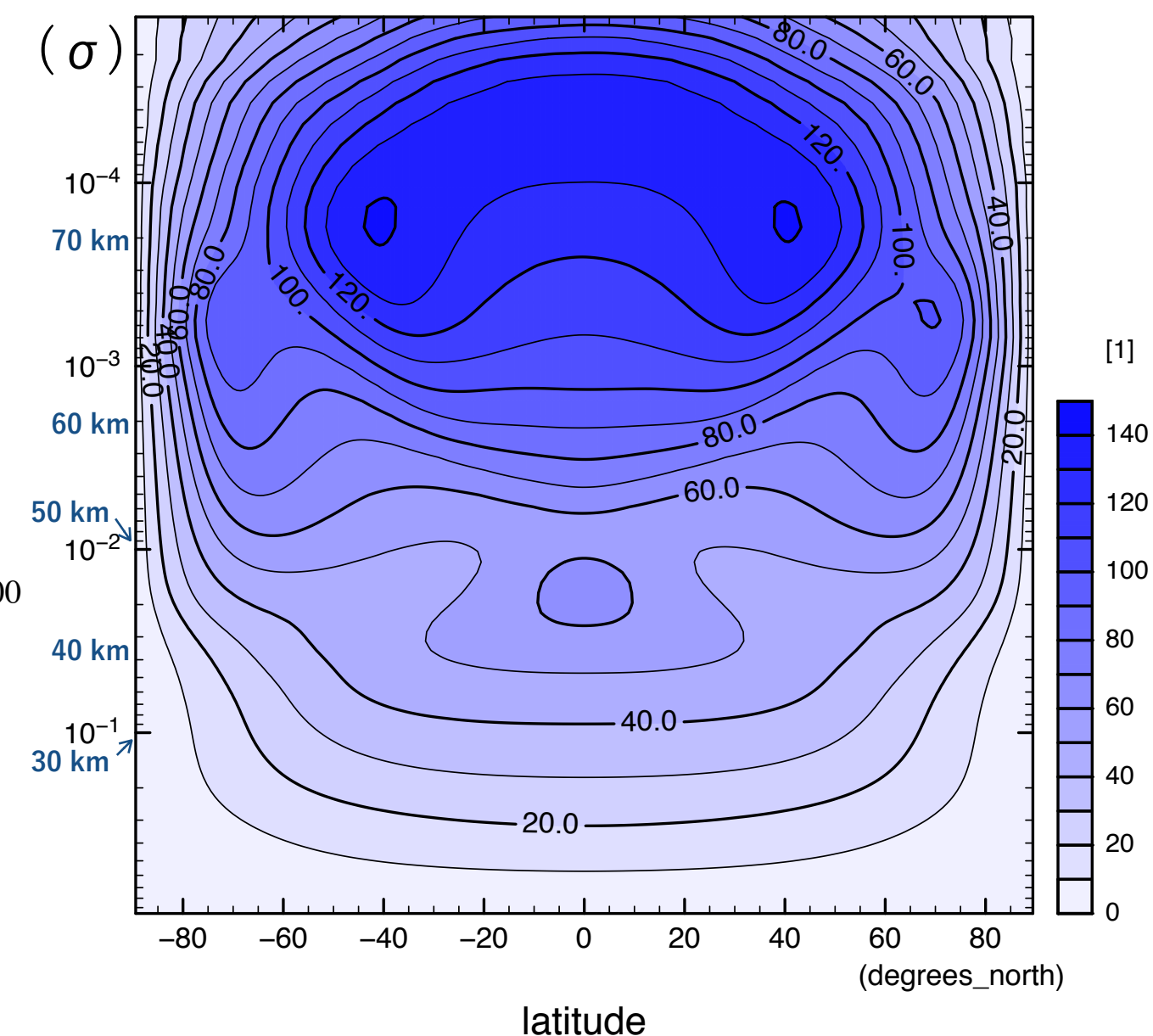
計算結果 | 平均東西風

赤道上空の平均東西風の時間発展

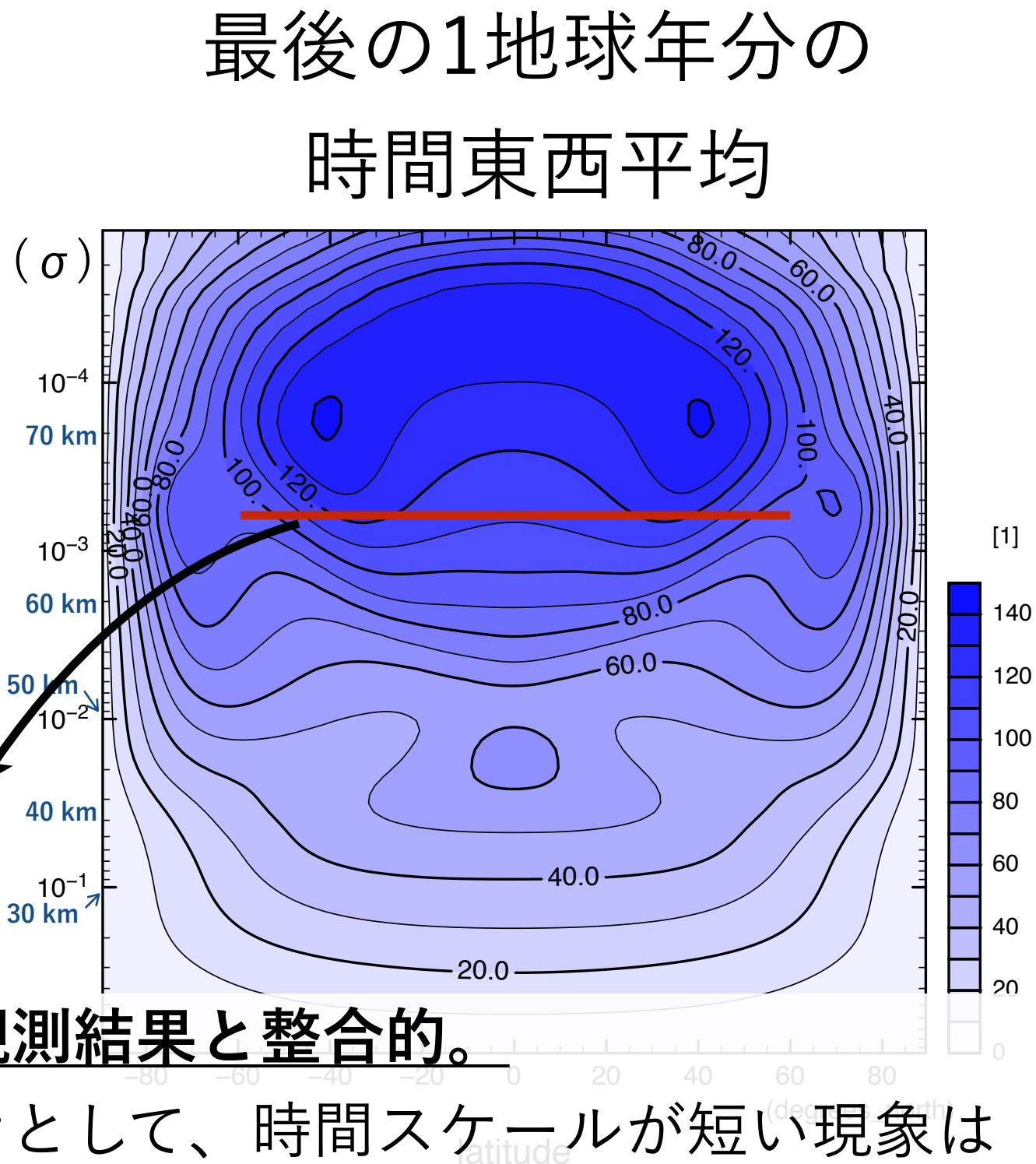
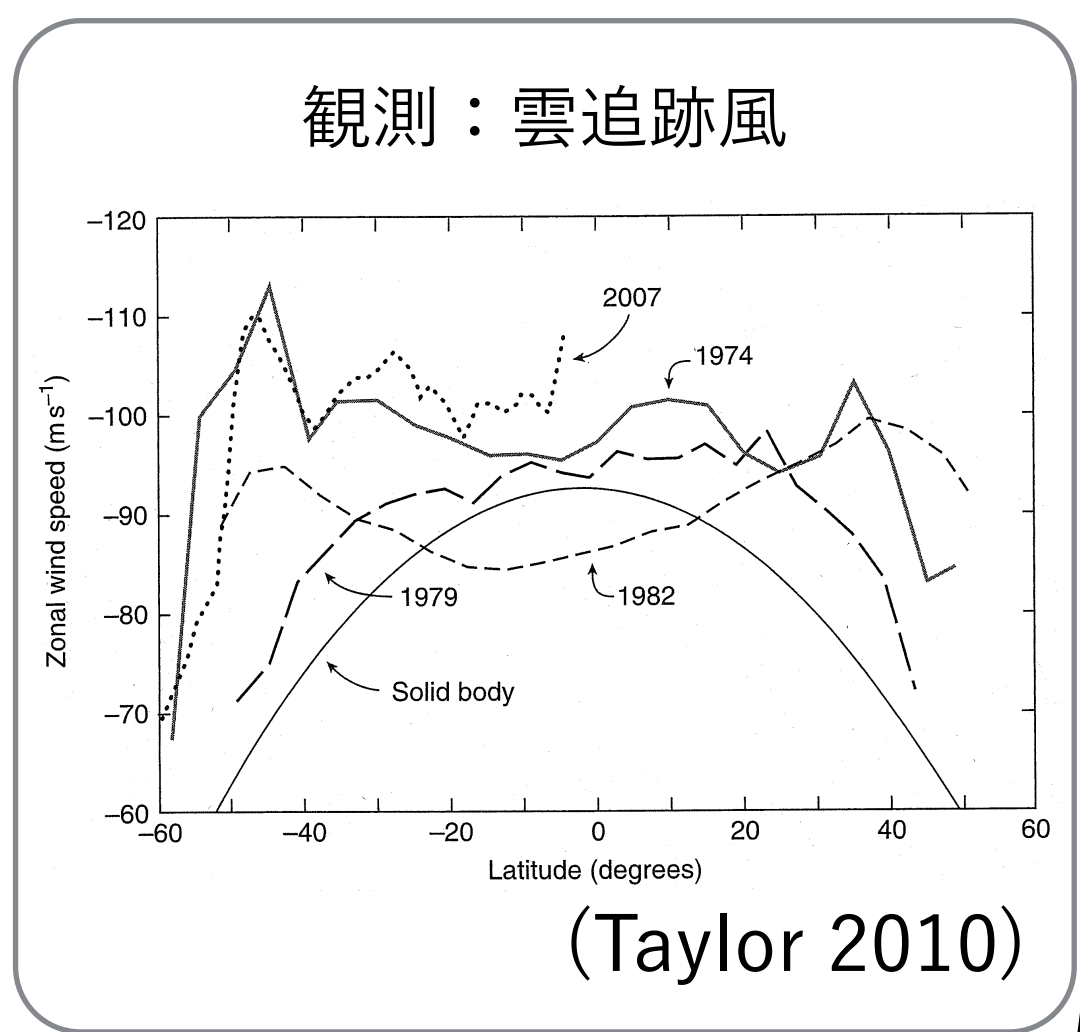


- 上層は準定常状態
- 下層はわずかながら減速傾向
 - スーパーローテーションは、完全には維持されていない？

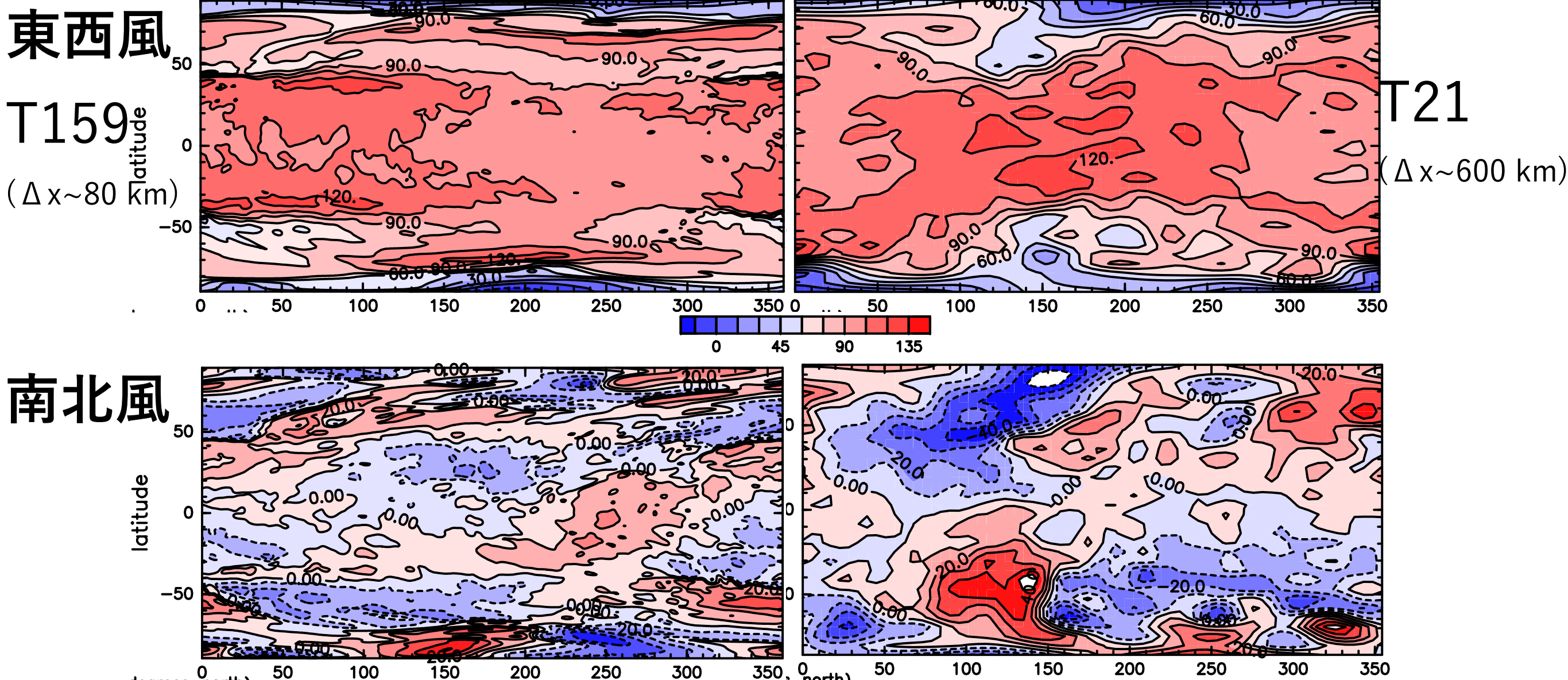
最後の1地球年分の時間東西平均



計算結果 | 平均東西風



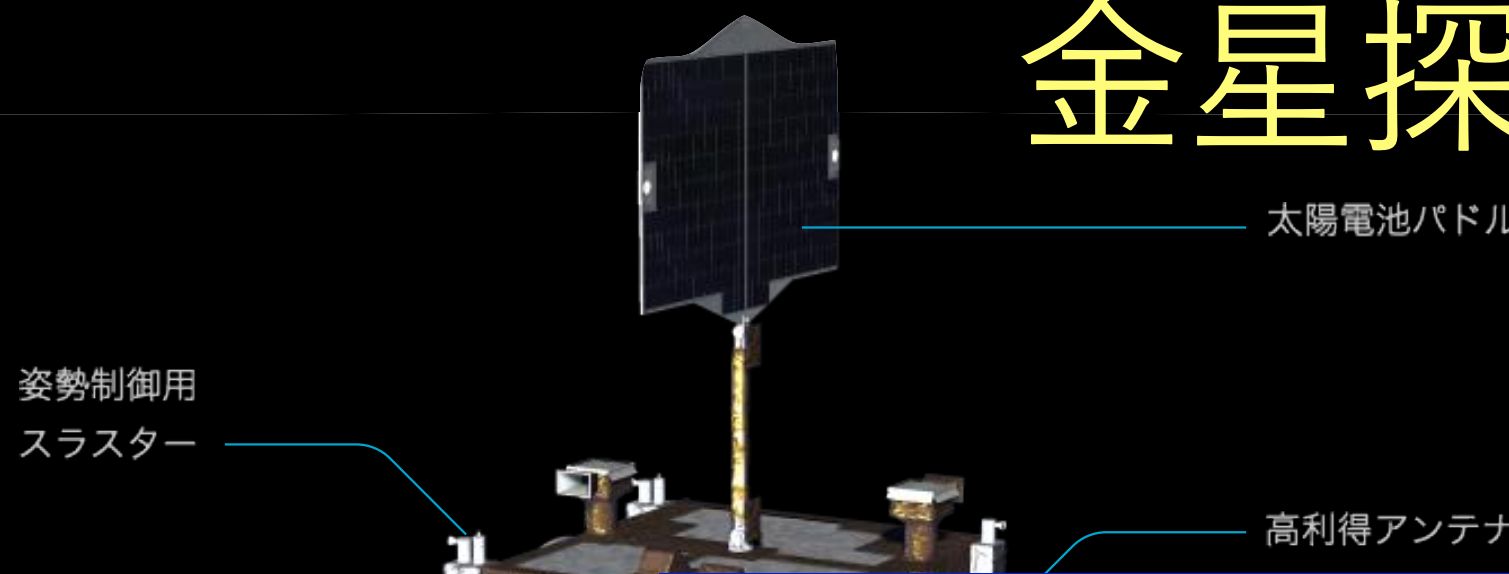
- 計算された風速場は、これまでの観測結果と整合的。
 - 金星大気の気象シミュレーションとして、時間スケールが短い現象は解析にあたいる。



- 観測的知見・描像が乏しかったため、解析のとっかかりがなかった。
 - 間雲に解析するには、データ規模が大きい。
 - とりあえず、運動エネルギースペクトルを解析していた。
- そんなとき、金星探査機あかつきの軌道投入が成功し、観測が始まった。



金星探査機あかつき



雷・大気光カメラ

2μmカメラ

1μmカメラ

紫外イメージヤ

中間赤外カメラ

あかつき

5カメラと電波による 3次元観測

気温・硫酸蒸気の高度分布(電波掩蔽)

大気光
(雷・大気光カメラ)

二酸化硫黄
(紫外イメージヤ)

雲の温度
(中間赤外カメラ)

下層の雲
(1μm/2μmカメラ)

風速ベクトル
(雲の動きから)

一酸化炭素
(2μmカメラ)

雷放電
(雷・大気光カメラ)

水蒸気(1μmカメラ)

90 km

65 km

50 km

35-50 km

10 km

地表物質・活火山
(1μmカメラ)

成層圏

硫酸雲

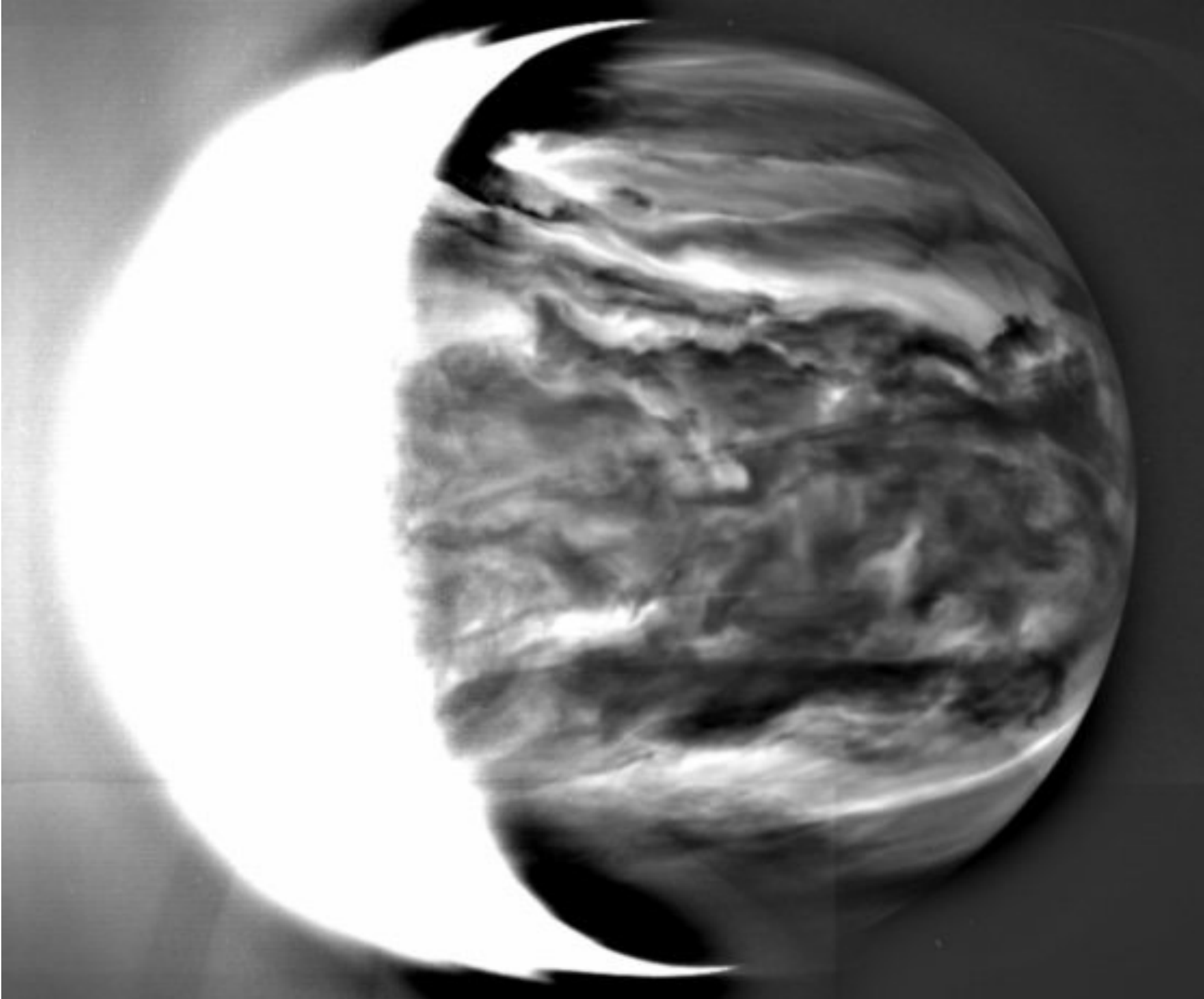
対流圏

地表面

金星探査機あかつきと私の年表

年表	あかつき（PLANET-Cプロジェクト）	私
2000年12月	宇宙理学委員会に提案書が提出される	高校生
2001年7月	第24号科学衛星「PLANET-C」計画が開始	
2004年	PLANET-Cの開発が開始（予算がつく）	大学生
2009年10月	探査機名が「あかつき」に決定	D1
2010年5月18日	打ち上げ予定 → 5分前に中止	種子島から見守る
2010年5月21日	打ち上げ成功！	大学に戻ってた...
2010年8月		宇宙研に滞在（解析プログラム開発に参加）
2010年12月7日	金星軌道投入 → 失敗	大学でセミナー聴講中
2012年4月	（金星より少し速く太陽を周回する）	宇宙研に着任
	（金星より少し速く太陽を周回する）	測距・テレメトリー受信など（地味な）運用
2014年8月	（金星より少し速く太陽を周回する）	宇宙研を離任
2015年12月7日	金星軌道投入 → 成功	
2016年4~6月	IR2夜面画像（プレス用）が世に出回る	

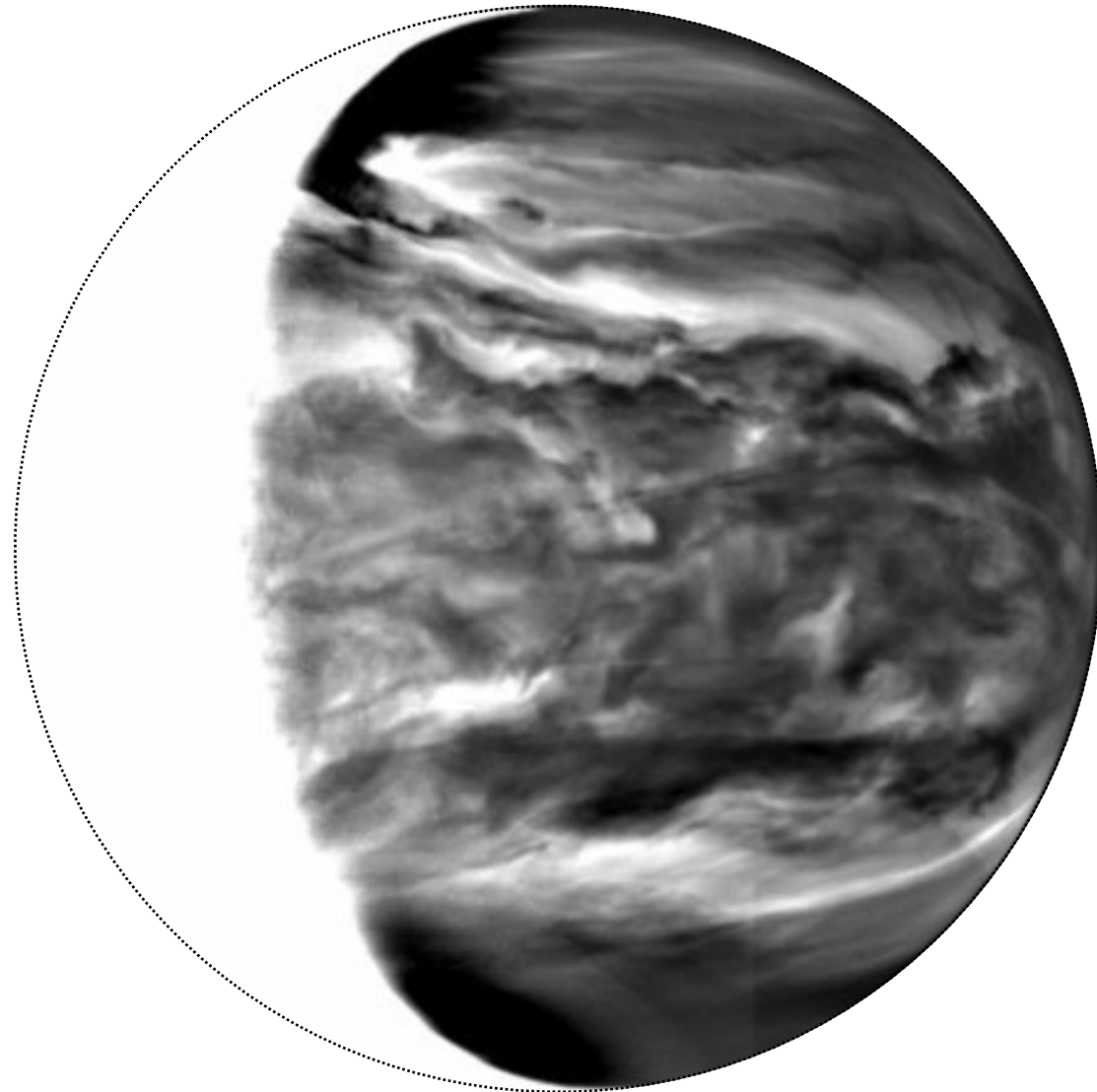
公開されたIR2金星夜面画像



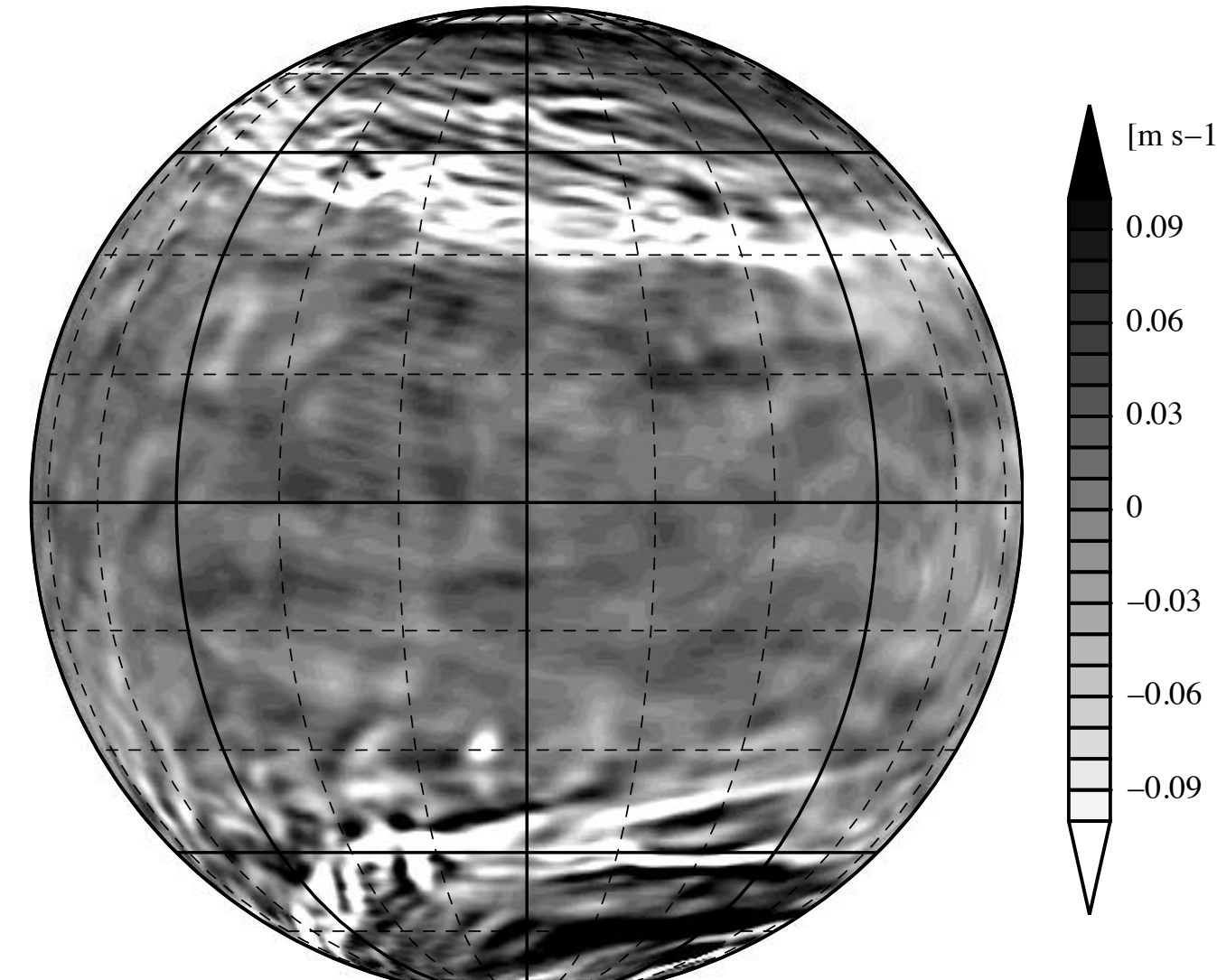
- 2016年3月に、金星から約10万kmの地点から撮影（波長 $2.26 \mu\text{m}$ ）

触発されて、金星AFESの結果を調べてみた

IR2の夜面画像（プレス用）



金星AFESで計算された鉛直流

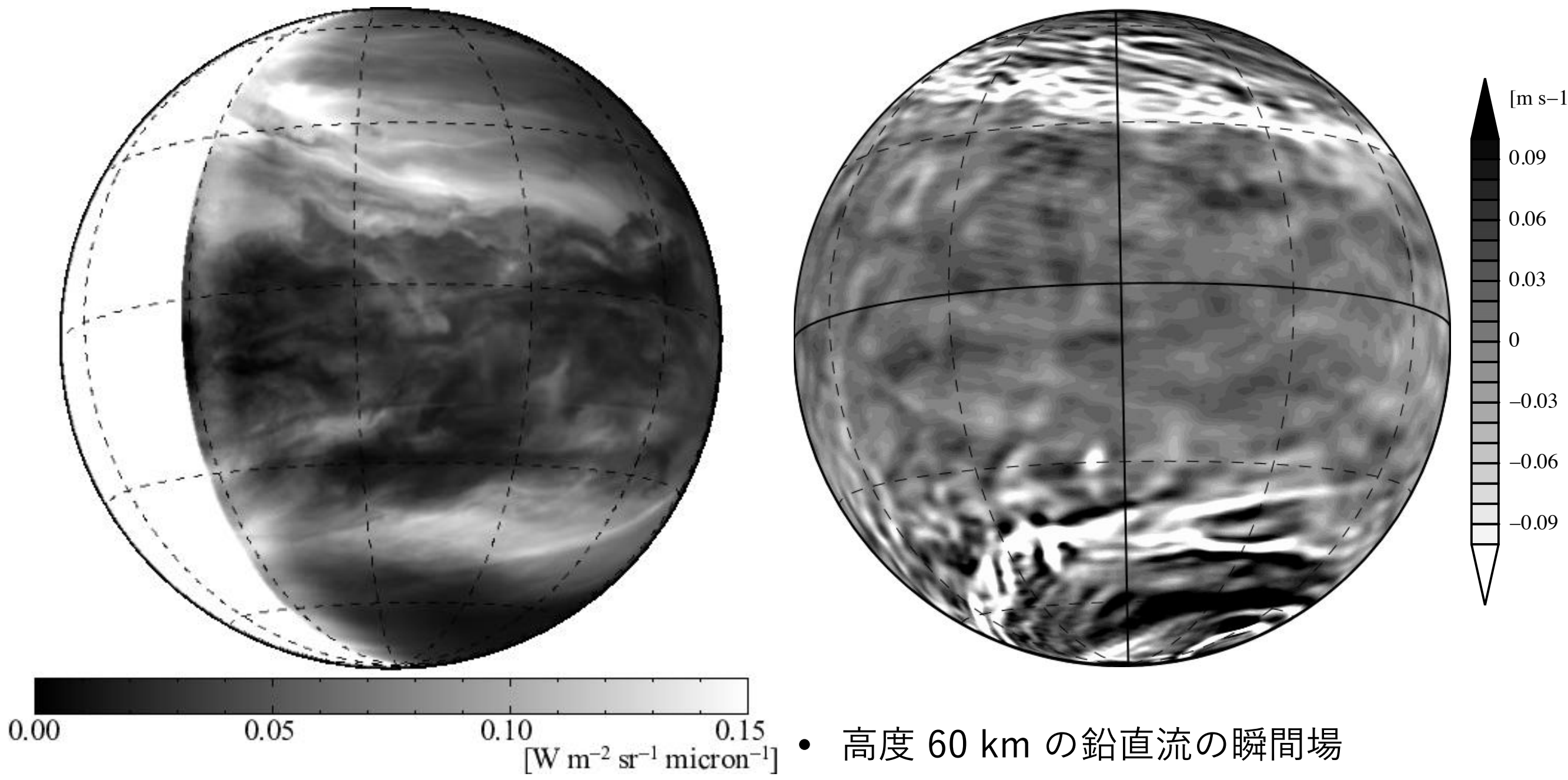


- 地表付近の暑い大気から射出される赤外線を観測している。その赤外線は雲に遮蔽される。
 - ▶ 白 = 雲が薄い = 下降流？
 - ▶ 黒 = 雲が厚い = 上昇流？
- 高度 60 km の鉛直流の瞬間場
 - ▶ 白 = 下降流
 - ▶ 黒 = 上昇流

惑星規模のストリーク構造？

IR2の夜面画像（校正後）

金星AFESで計算された鉛直流



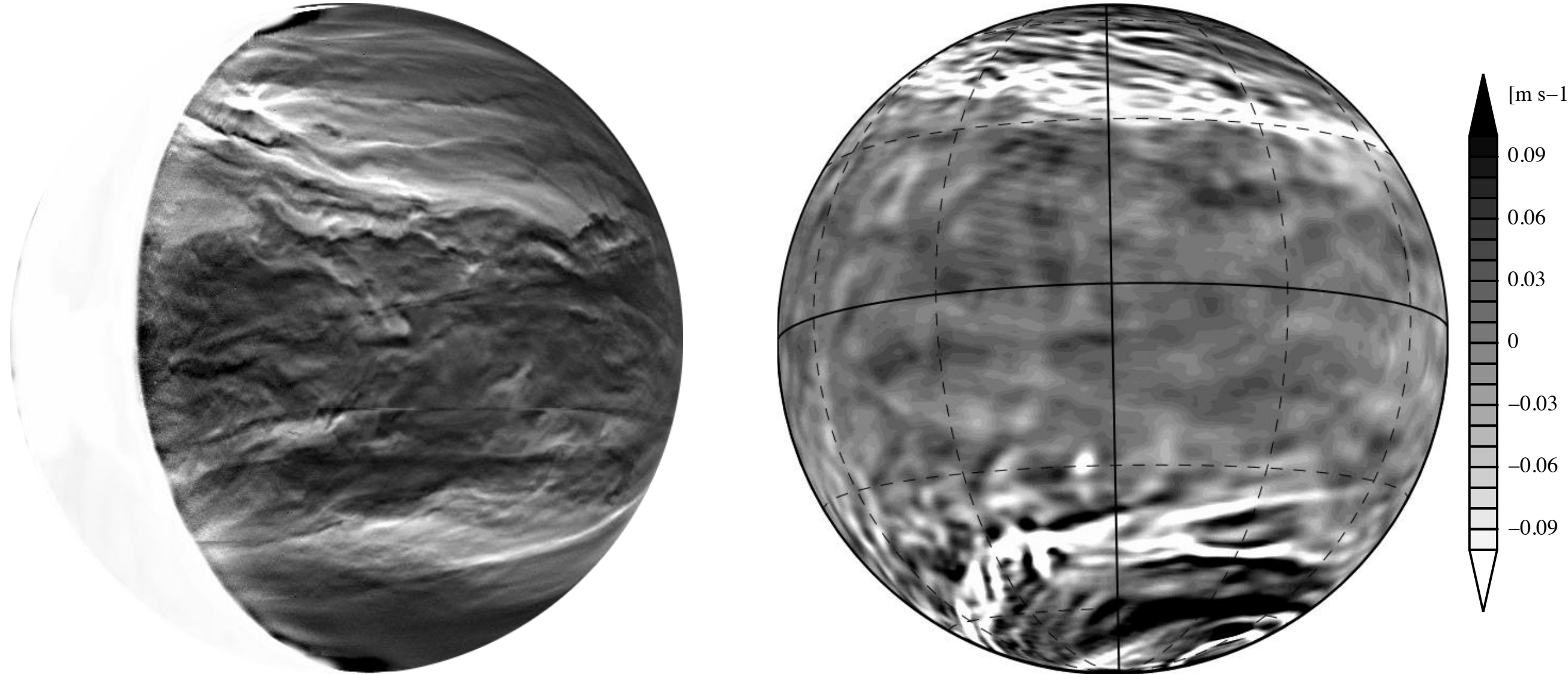
- ▶ 白 = 雲が薄い = 下降流？
- ▶ 黒 = 雲が厚い = 上昇流？

- 高度 60 km の鉛直流の瞬間場
 - ▶ 白 = 下降流
 - ▶ 黒 = 上昇流

惑星規模のストリーク構造？

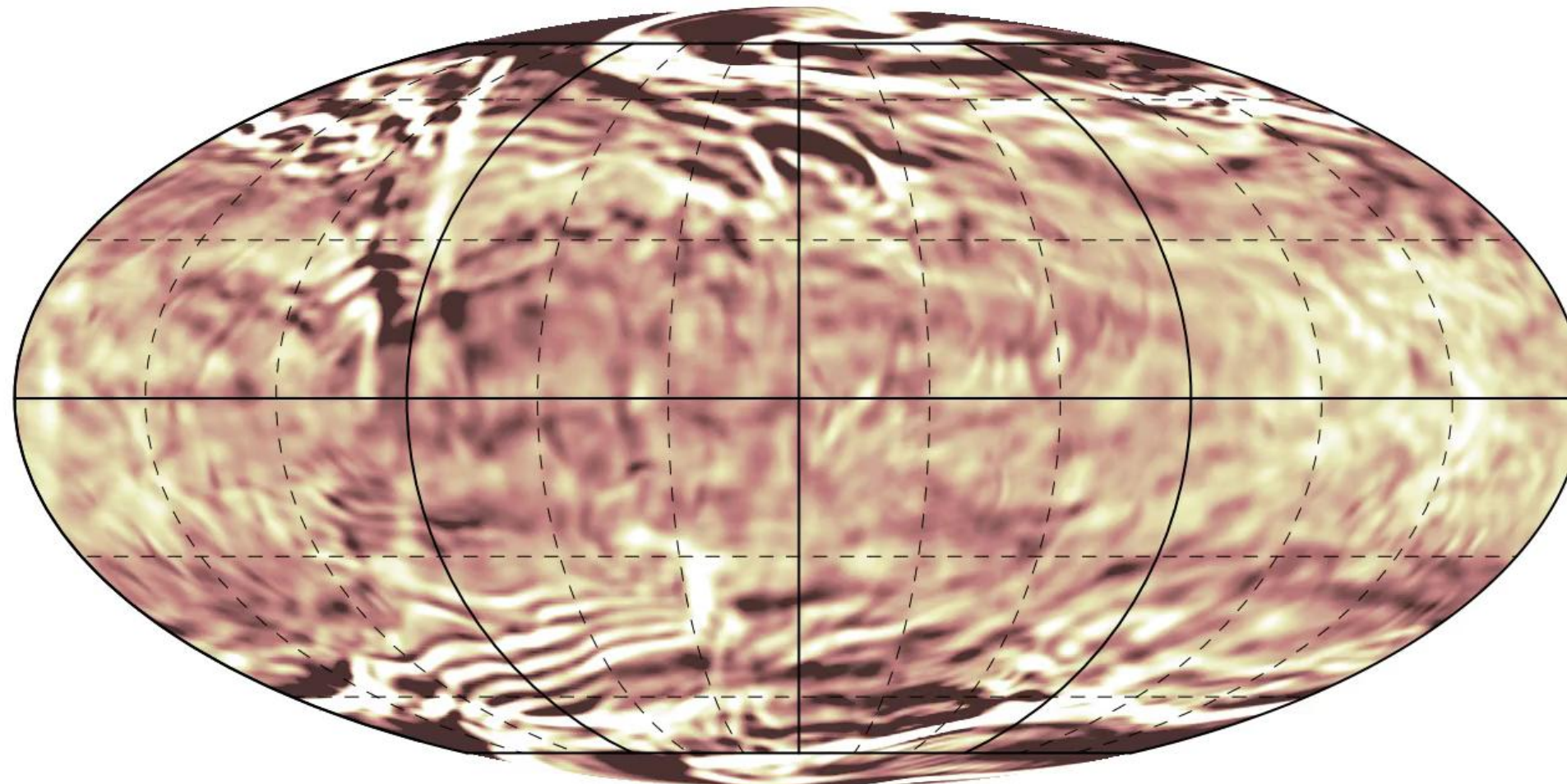
IR2の夜面画像（エッジ強調処理後）

金星AFESで計算された鉛直流



- 南北方向の位置が若干異なるものの、高緯度から低緯度にかけて伸びる、惑星規模の（幾本もの筋からなる）ストリーク構造が、南北両半球に見られる。

鉛直気圧速度 | 動画 (1時間毎)



上昇流

下降流

-0.16 -0.08 0 0.08 0.16 [1]

高度 ~ 60 km

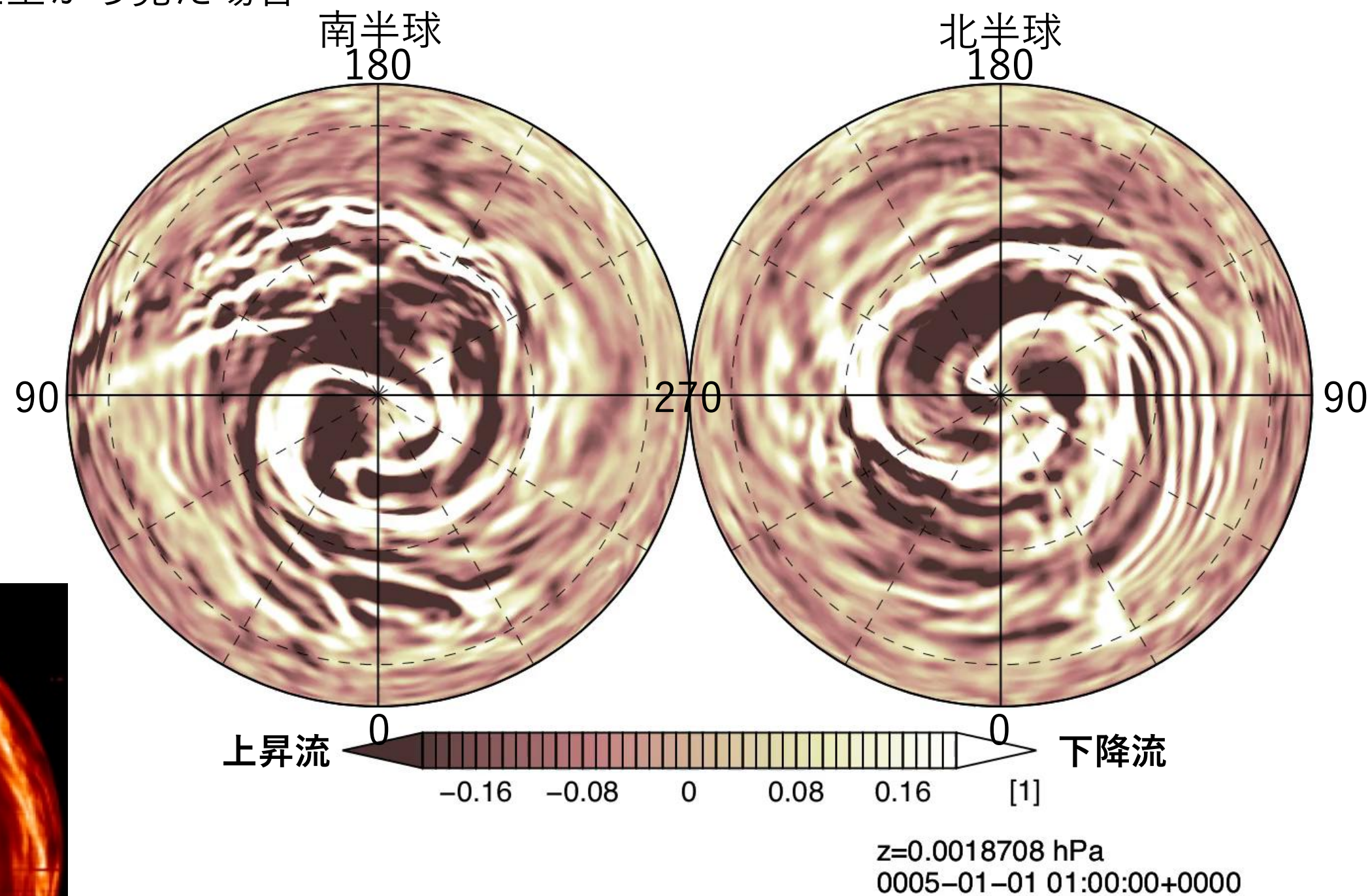
$z=0.0018708 \text{ hPa}$
0005-01-01 01:00:00+0000

←IR2夜面疑似カラー画像

鉛直気圧速度 | 動画 (1時間毎)

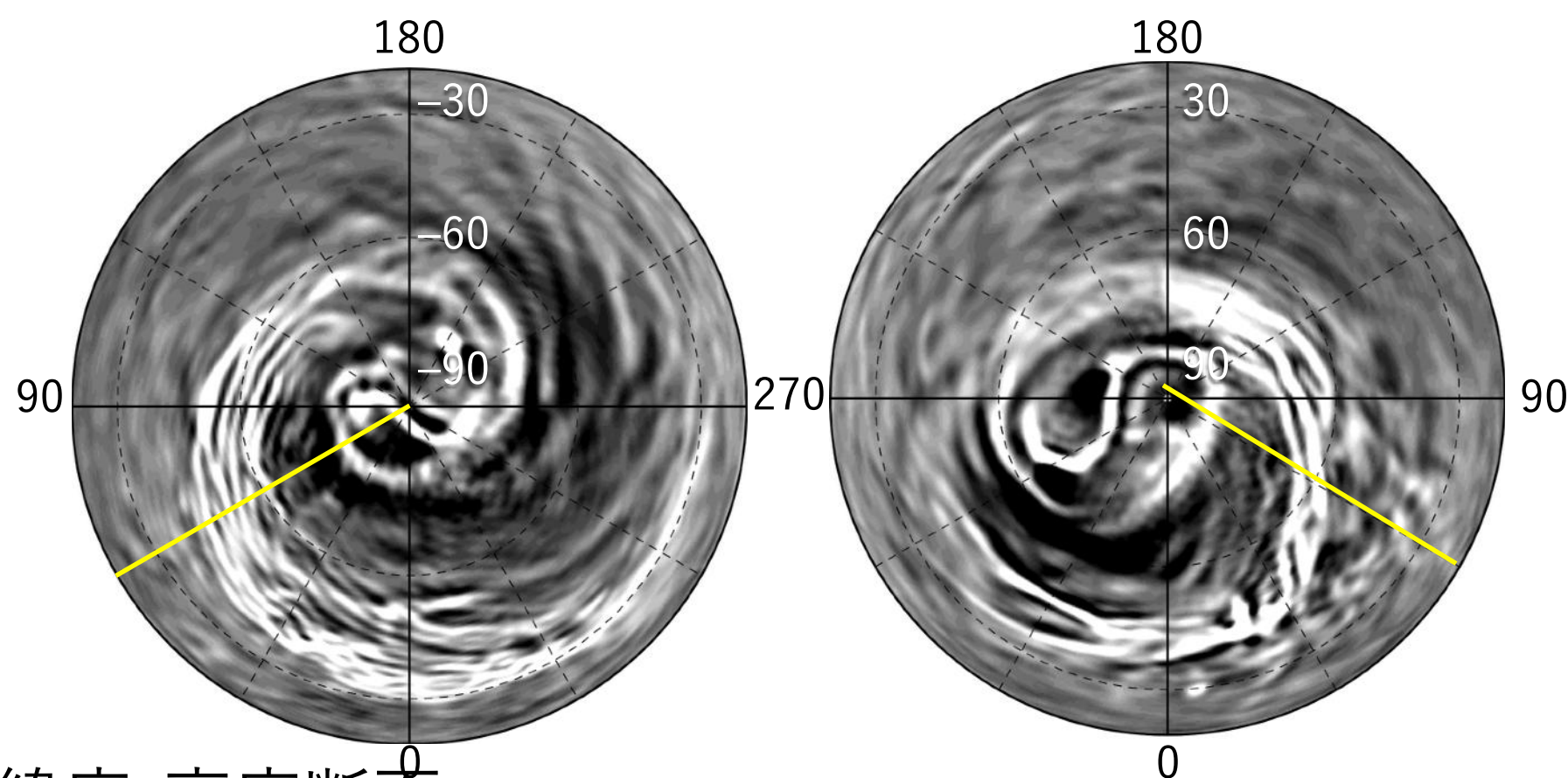
両極の上空から見た場合

高度 ~ 60 km

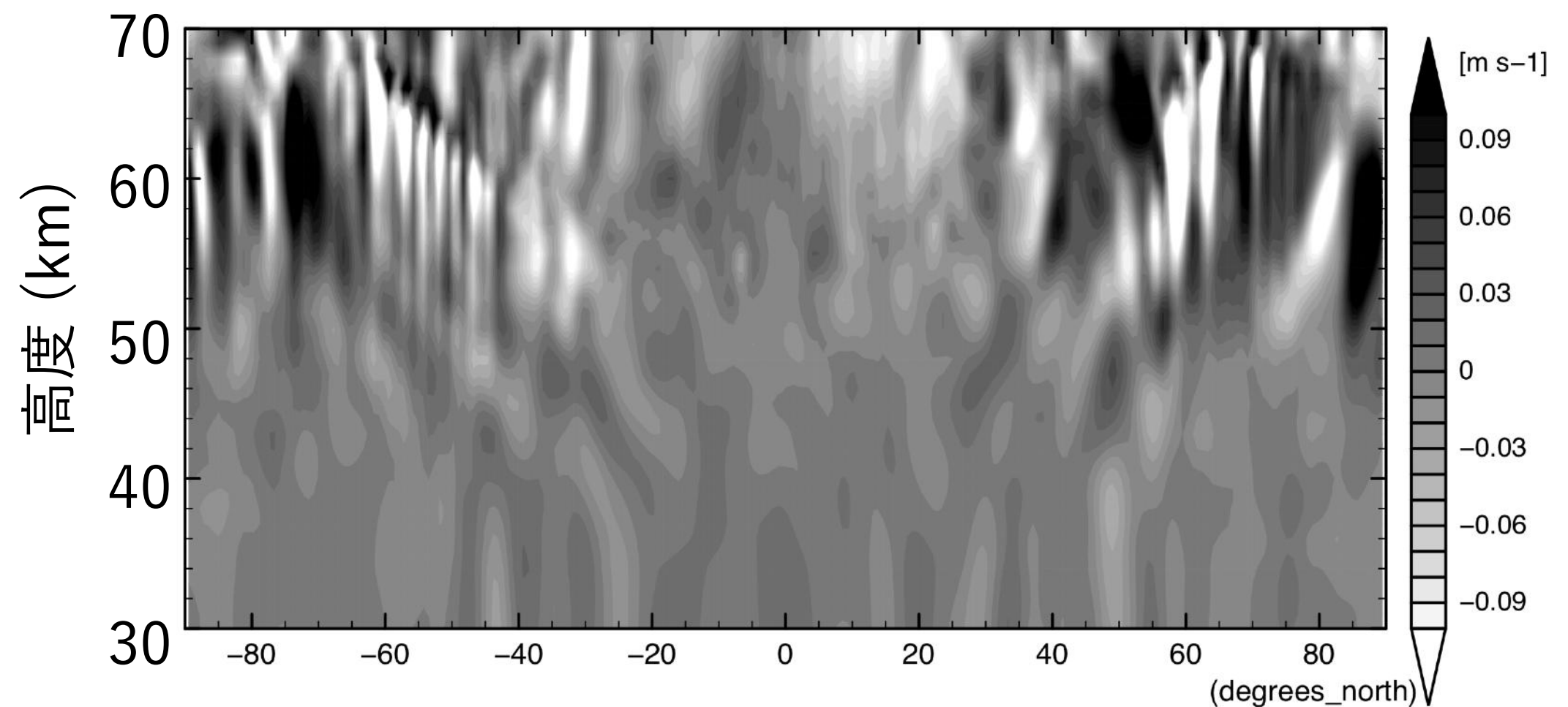


← 欧州宇宙機関の金星探査機 Venus Express の
VIRTISによる赤外線画像

鉛直流速

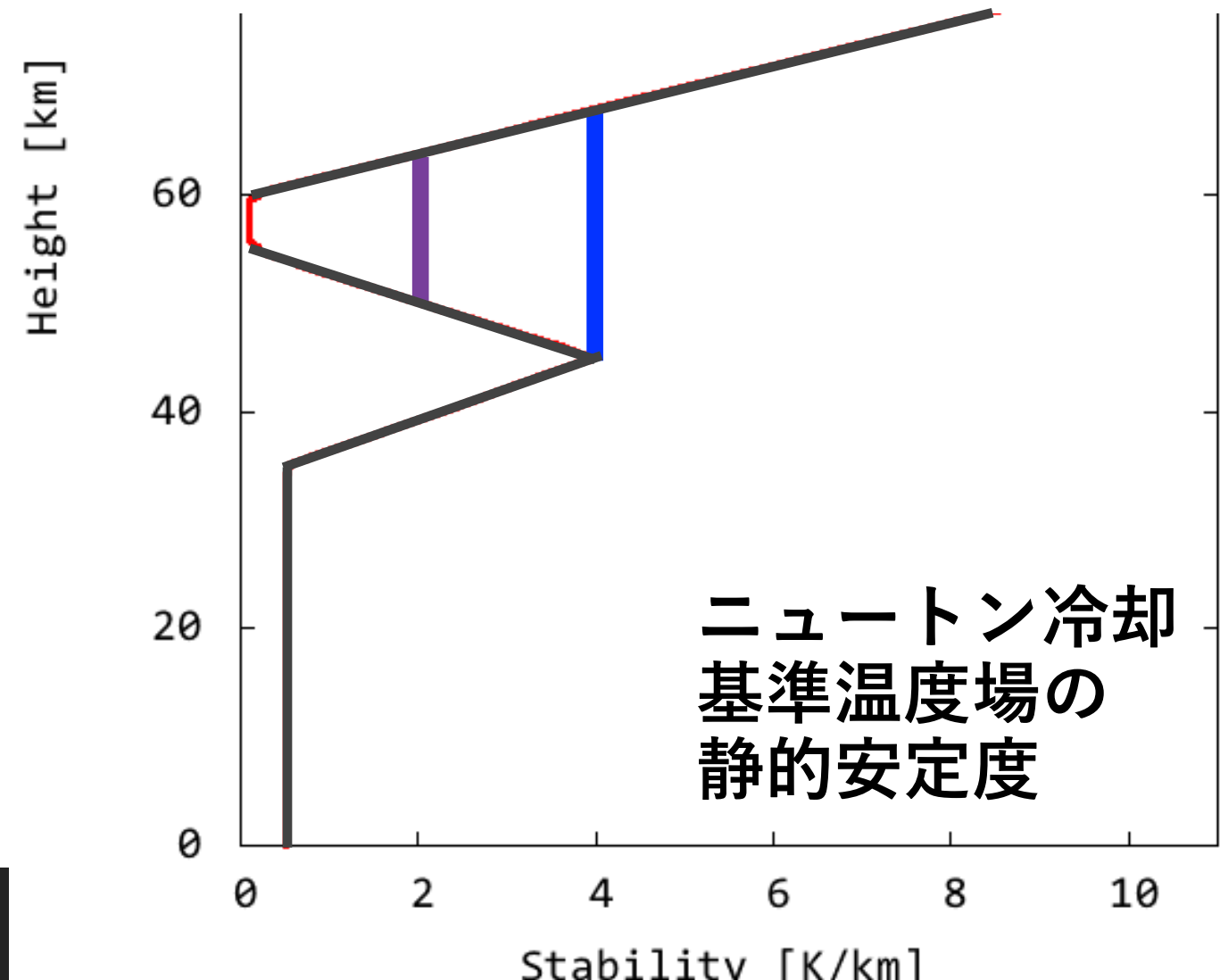


経度60° での緯度-高度断面



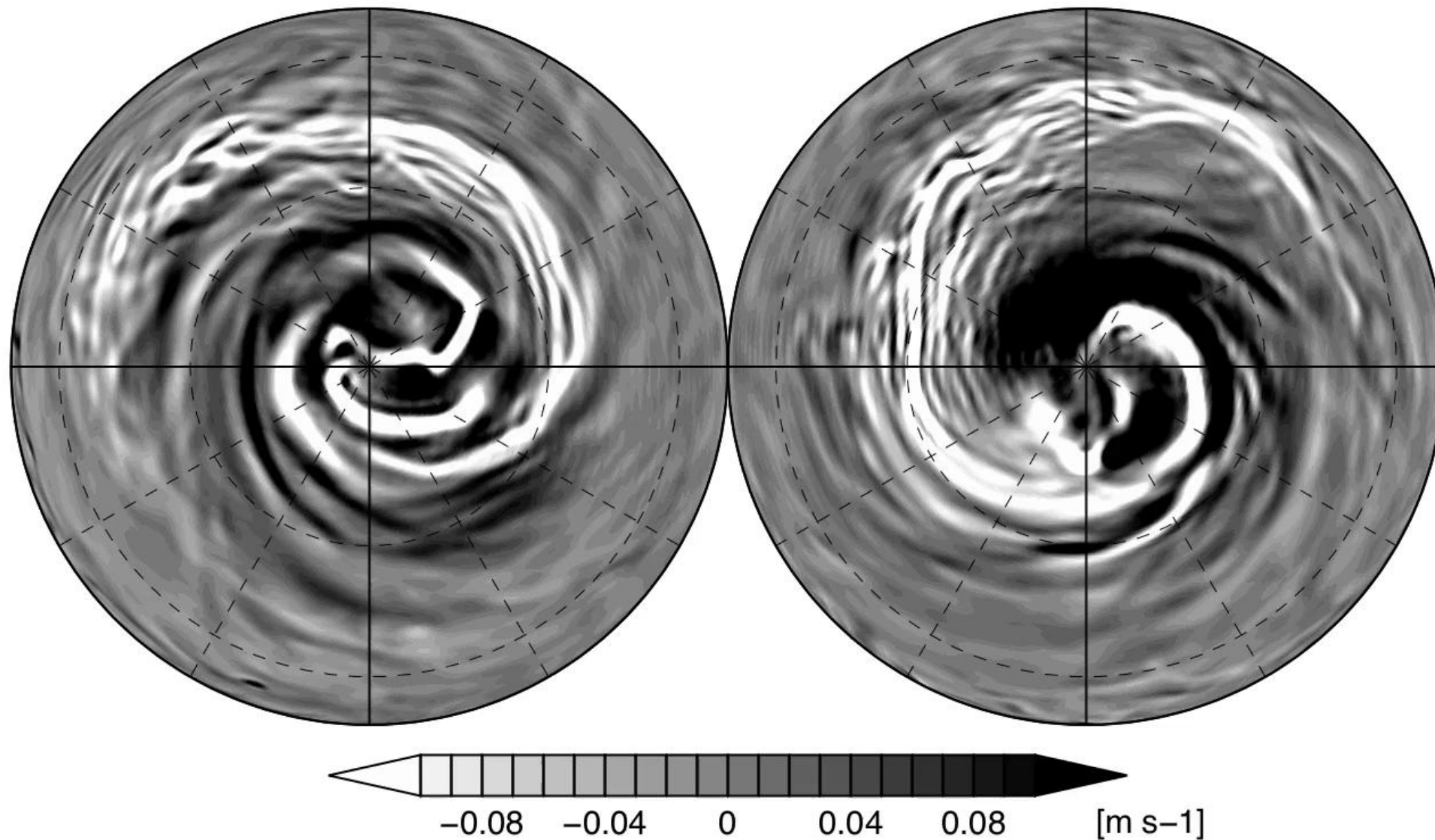
数値実験

- 惑星規模ストリーク構造に対する
日変化加熱（熱潮汐）と
低安定度層（55–60 km、**0.1 K/km**）
の影響を調べるために、以下の実験を実施
 - 日変化なし（東西一様加熱）実験
 - 低安定度層の安定度を **2.0 K/km** と **4.0 K/km** に変えた実験



鉛直流速 | 動画 (6時間毎)

日変化なし (東西一樣加熱)



高度 = 60 km $Z=60000\text{ m}$
0005-01-01 06:02:00+0000

- 東西一樣な加熱でも、南北同期している。
→太陽加熱の日変化は、南北同期の原因ではない。

日変化

あり

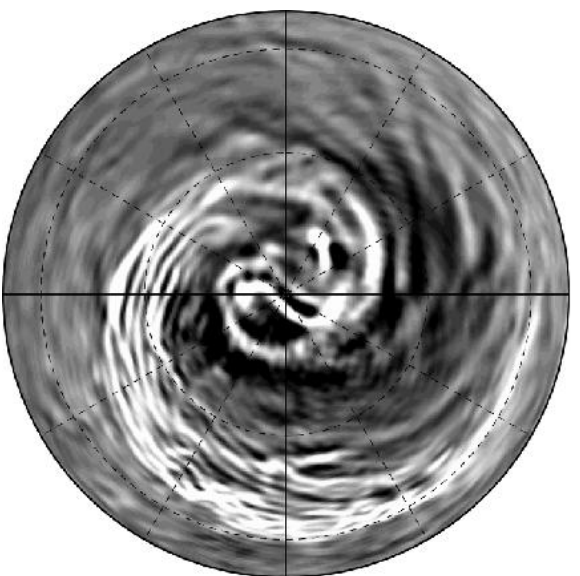
安定度

なし

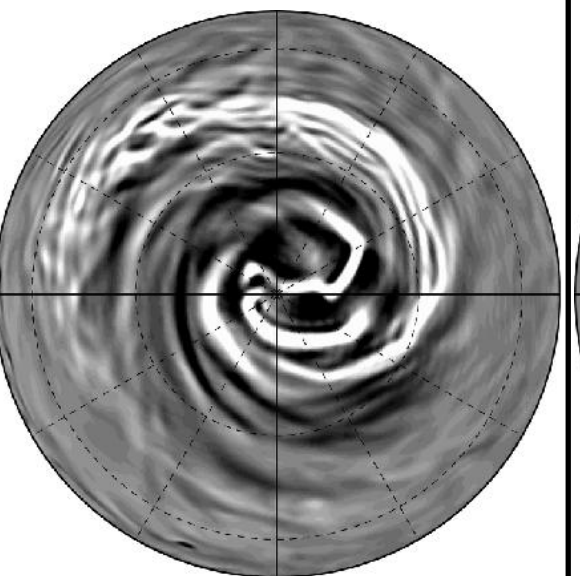
鉛直流

南極上空
からの図

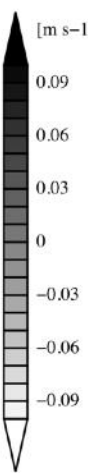
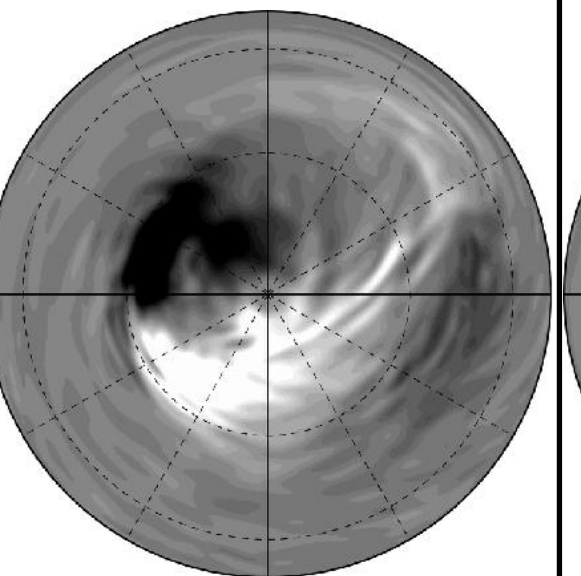
0.1 K/km



2 K/km



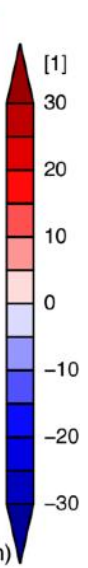
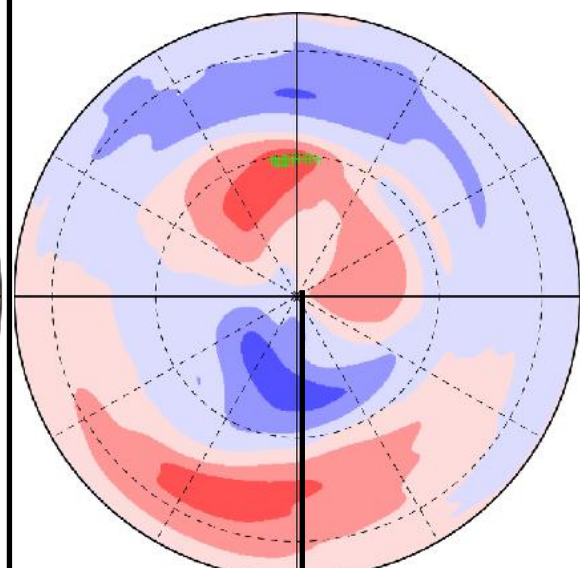
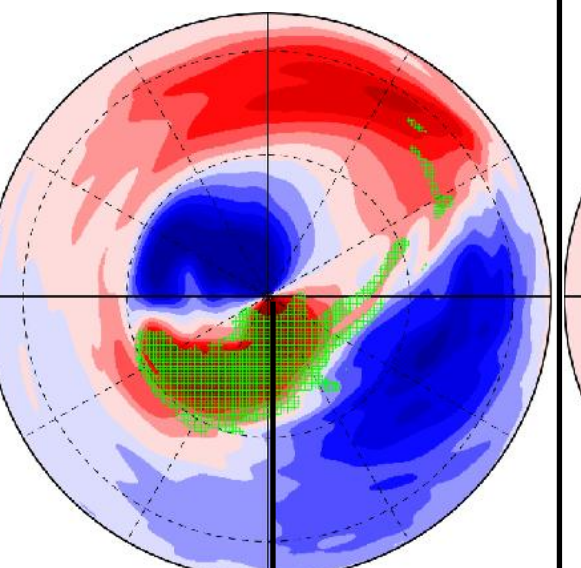
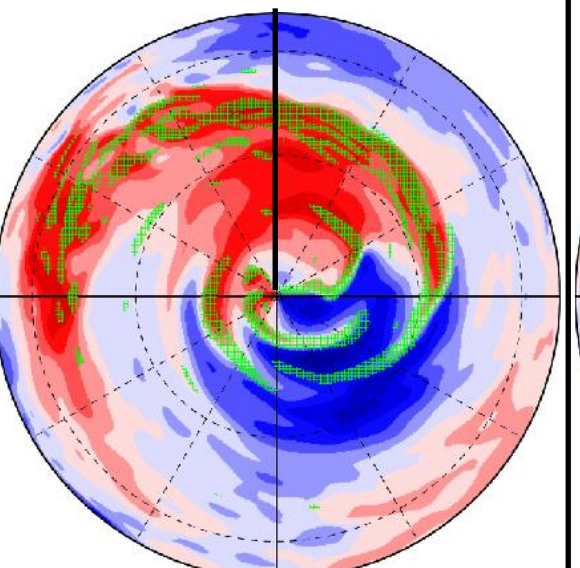
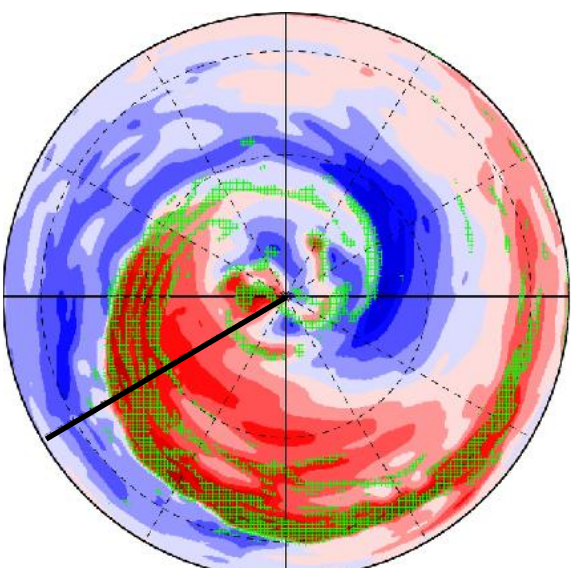
4 K/km



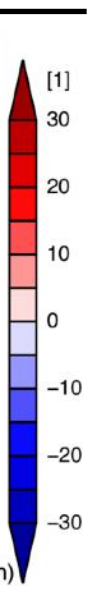
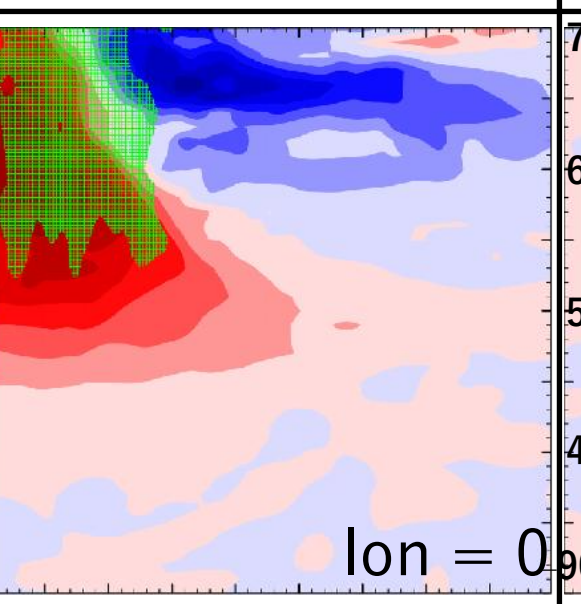
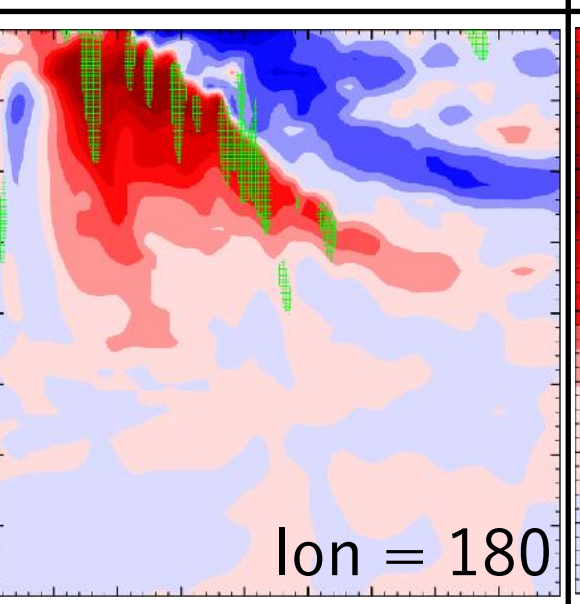
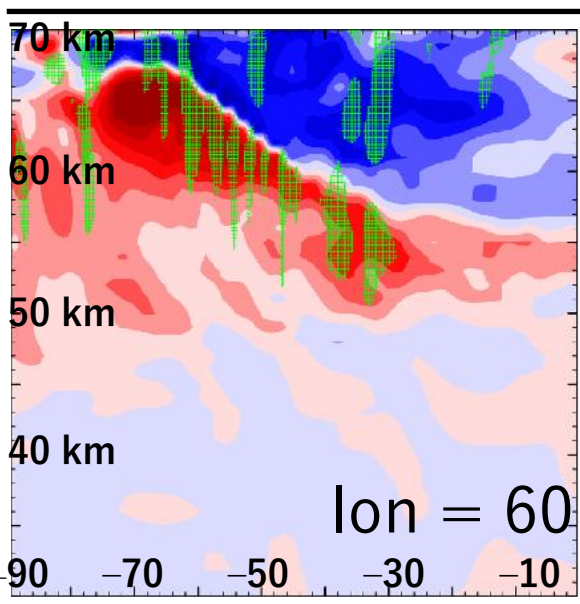
南北流

青：極向き
赤：赤道向き

緑：強い下降流



上図の
南北-高度
断面



疑問点

- ・ストリーク構造の南北同期の原因是？
- ・安定度を高くすると、
ストリーク構造が現れないのはなぜか？

東西-時間断面@南緯35°（日変化なし、安定度 低い 0.1 K/km）

- 気圧の東西平均からの偏差（赤-青）
- 強い下降流（緑）
- 平均東西風速（黄色の線）

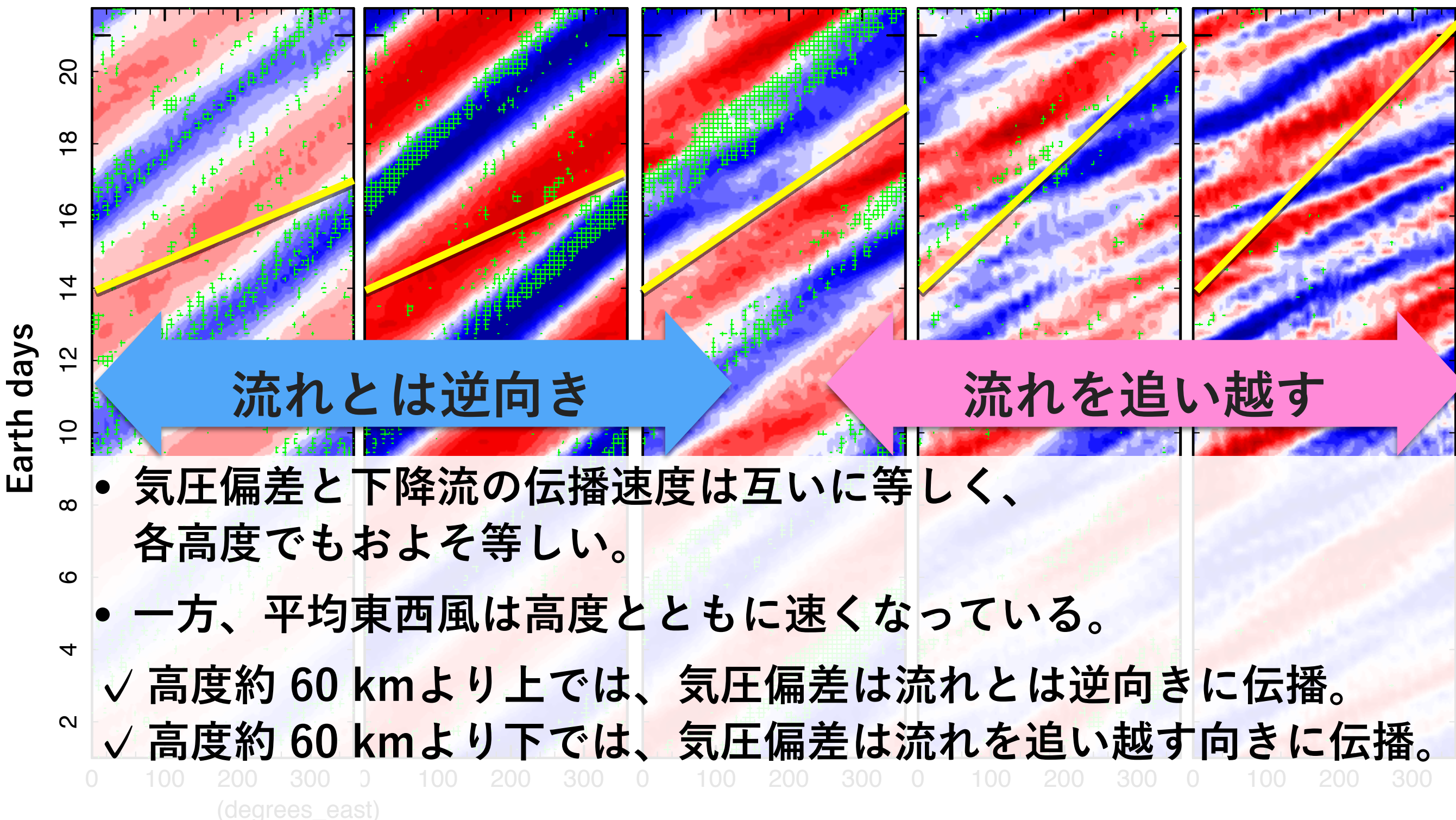
高度 = 70 km

65 km

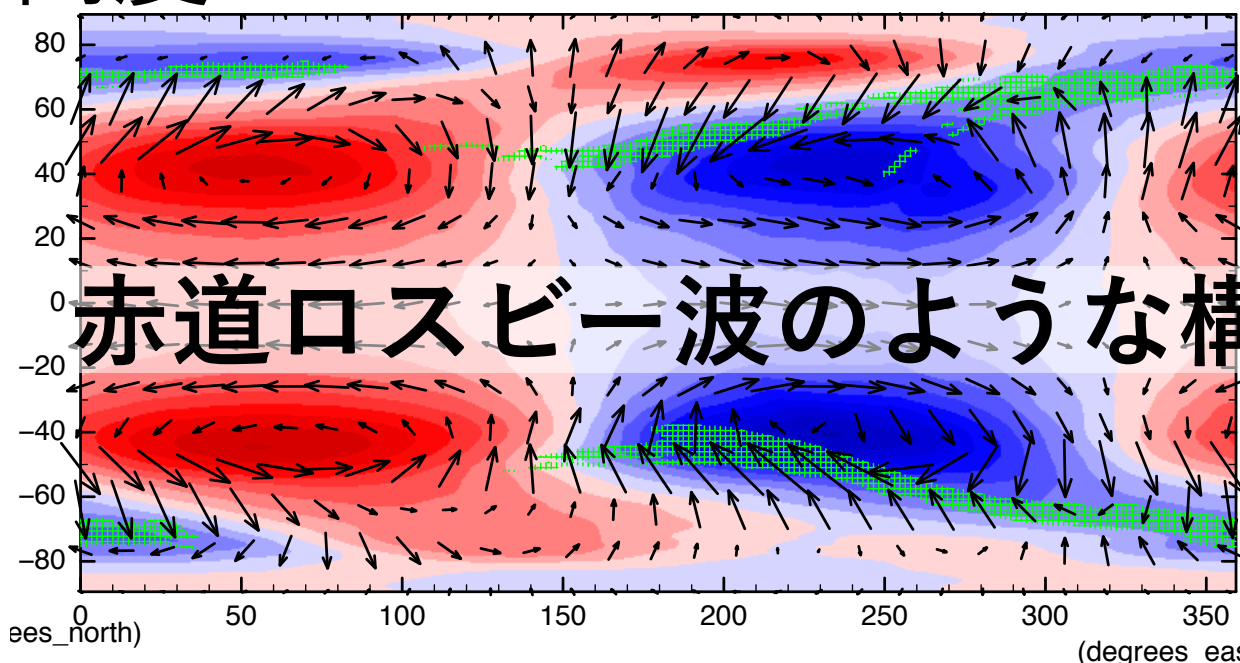
60 km

55 km

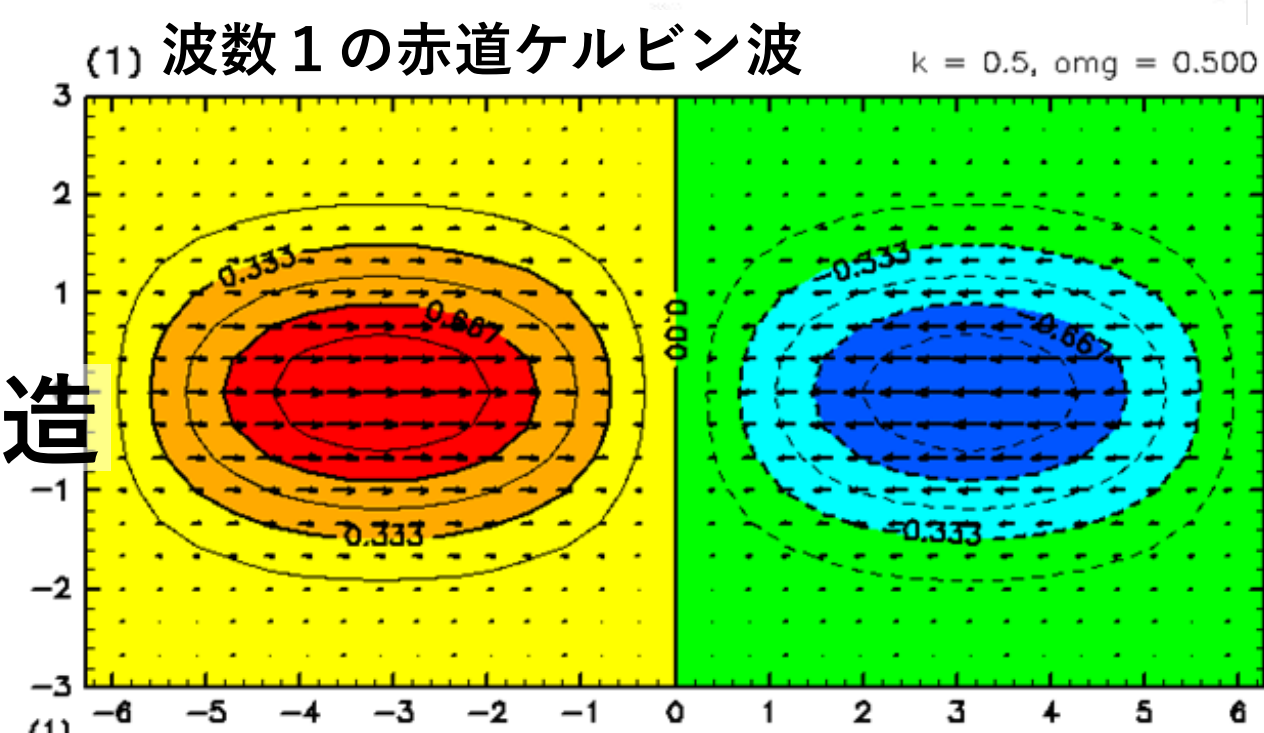
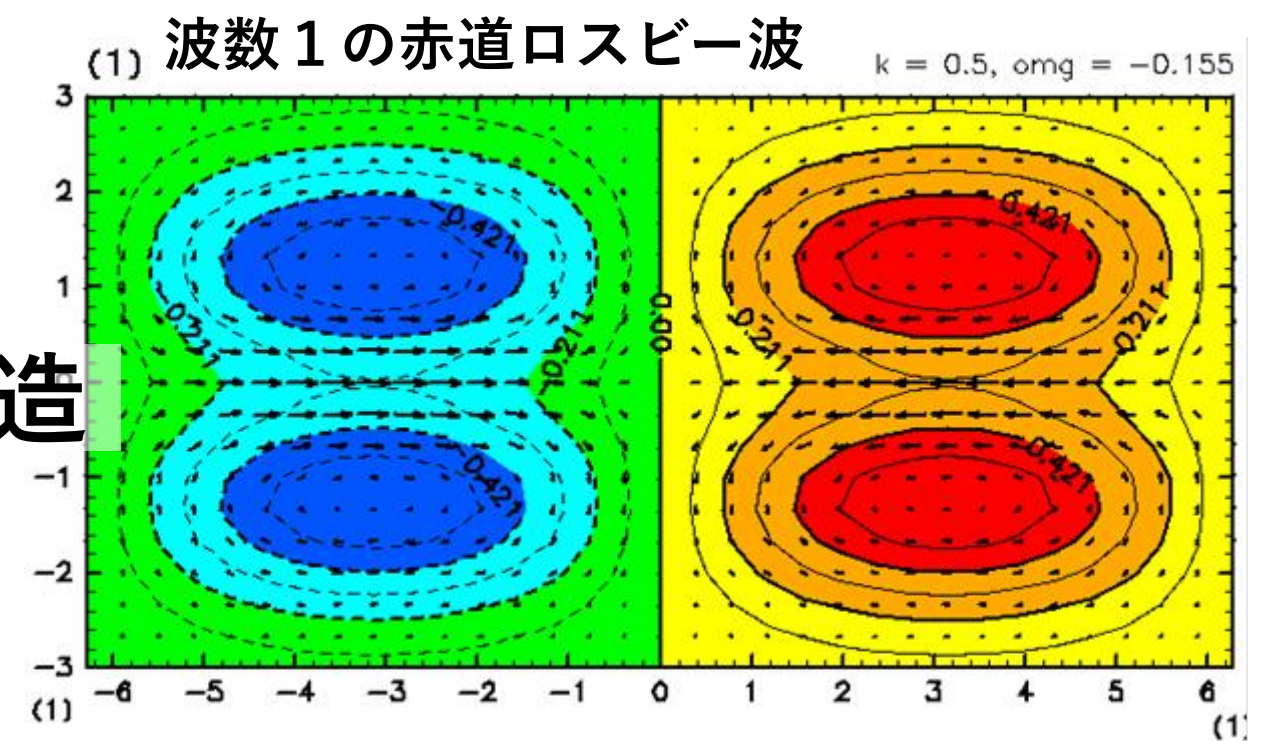
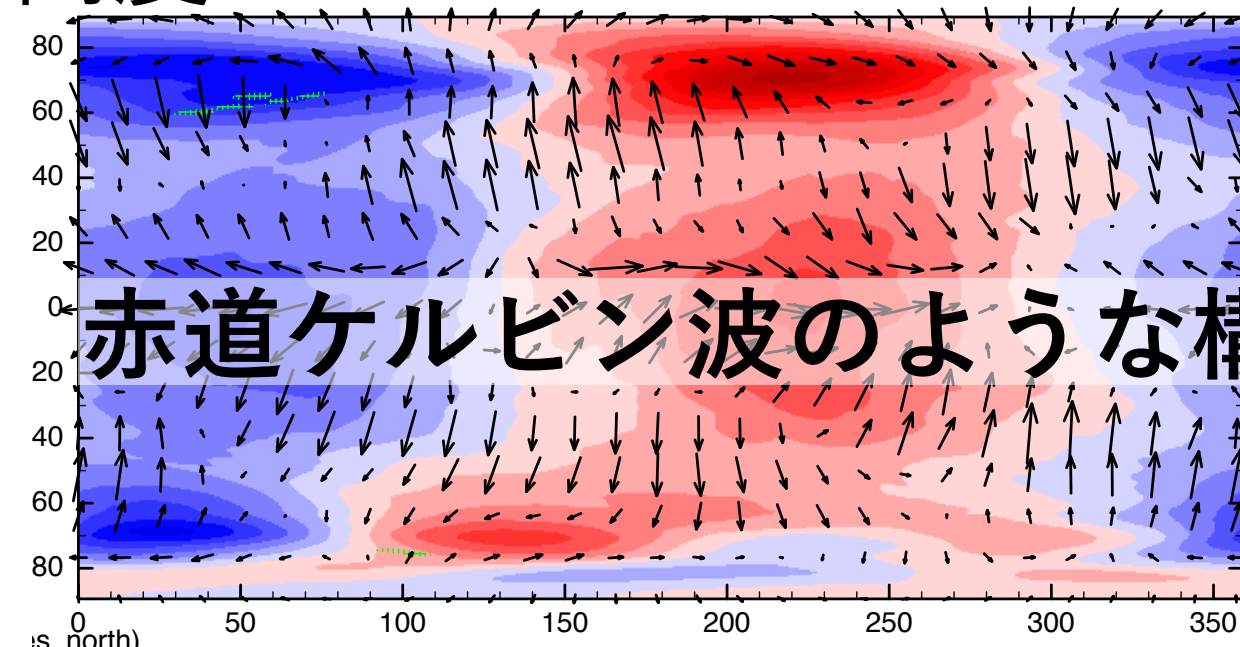
50 km



高度 65 km

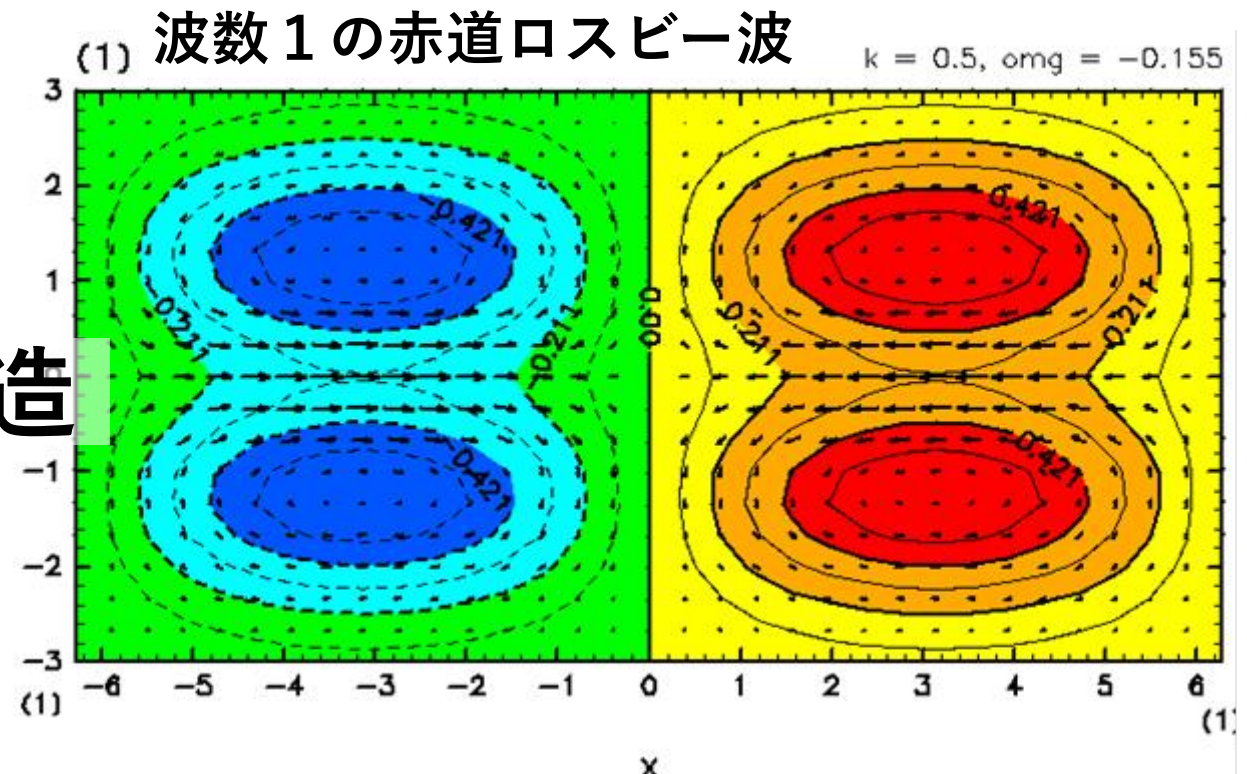
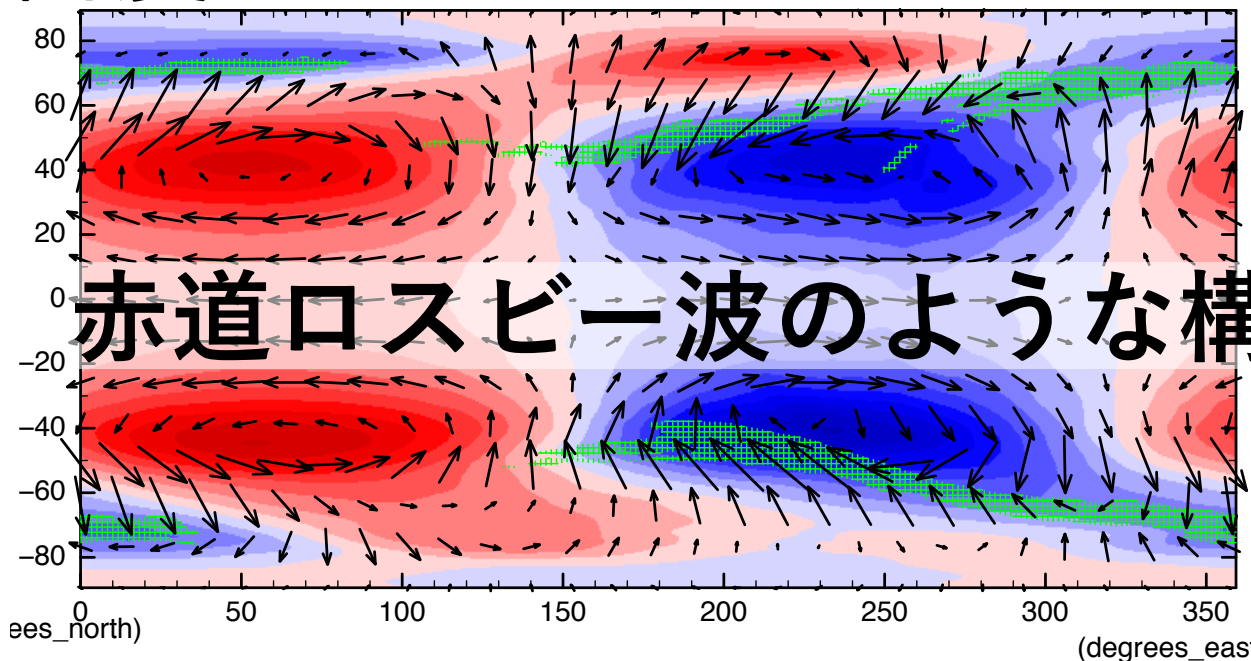


高度 55 km

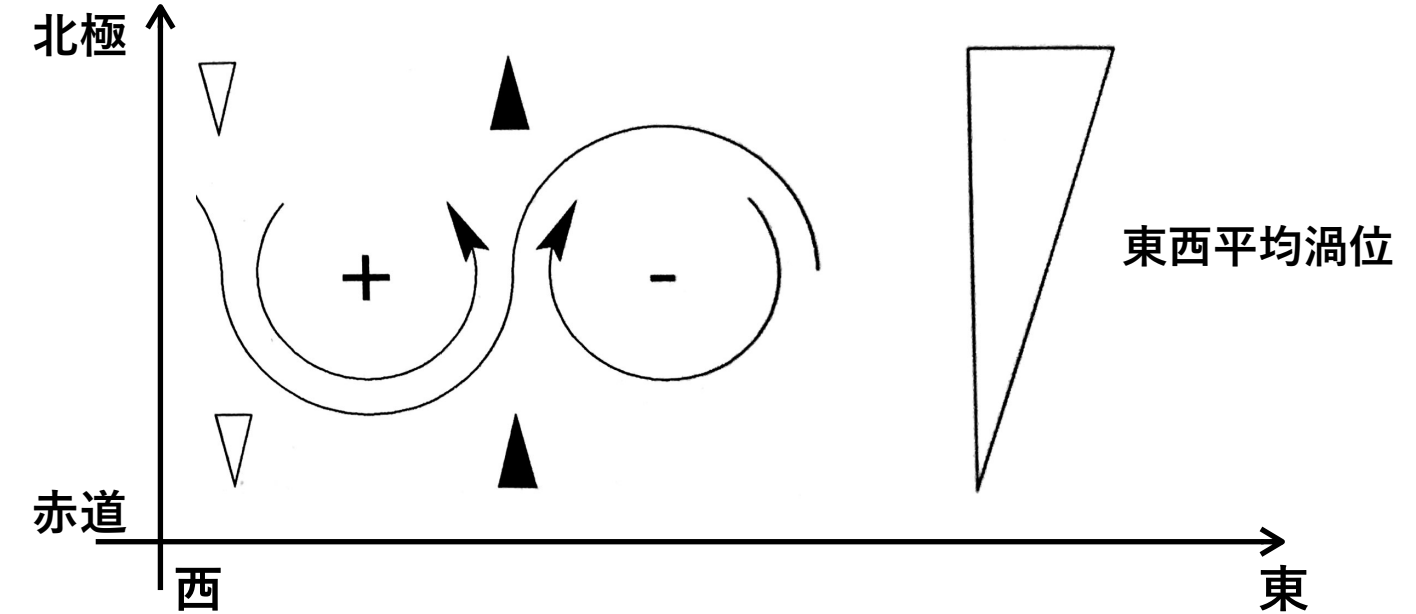


- (極付近の気圧偏差は、順圧不安定によるもの。 Sugimoto et al. 2014)
- 赤道ロスビー波のような構造と極付近の渦が接続して収束領域が形成？
- これらの波が南北同期の原因か？

高度 65 km



ロスビー波のポンチ絵 →
渦位 = $(\omega_a \cdot \nabla \theta) / \rho$

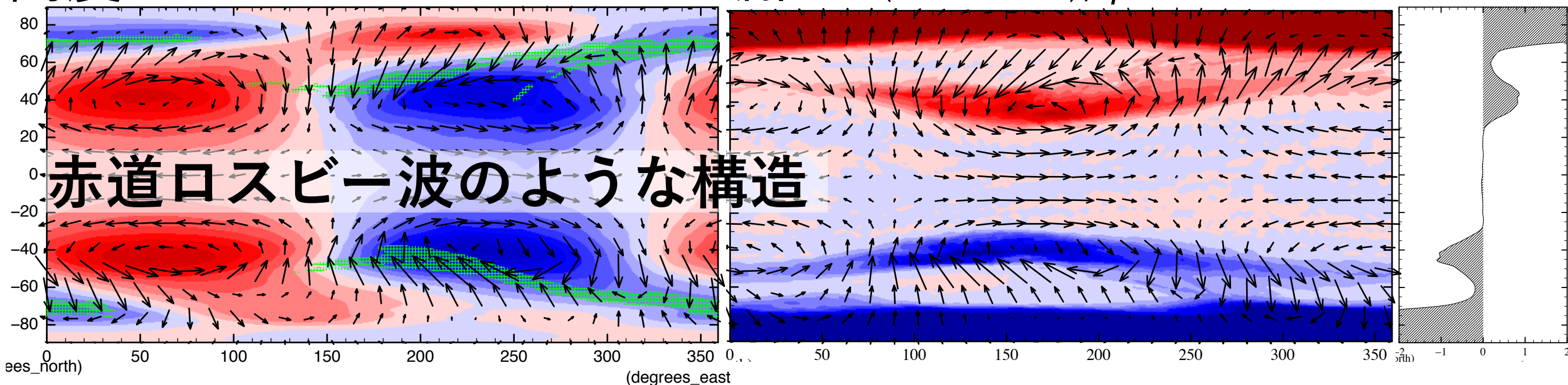


- 西向きに伝播するロスビー波が存在するには、渦位の平均南北勾配がつねに正でなければならない。

高度 65 km

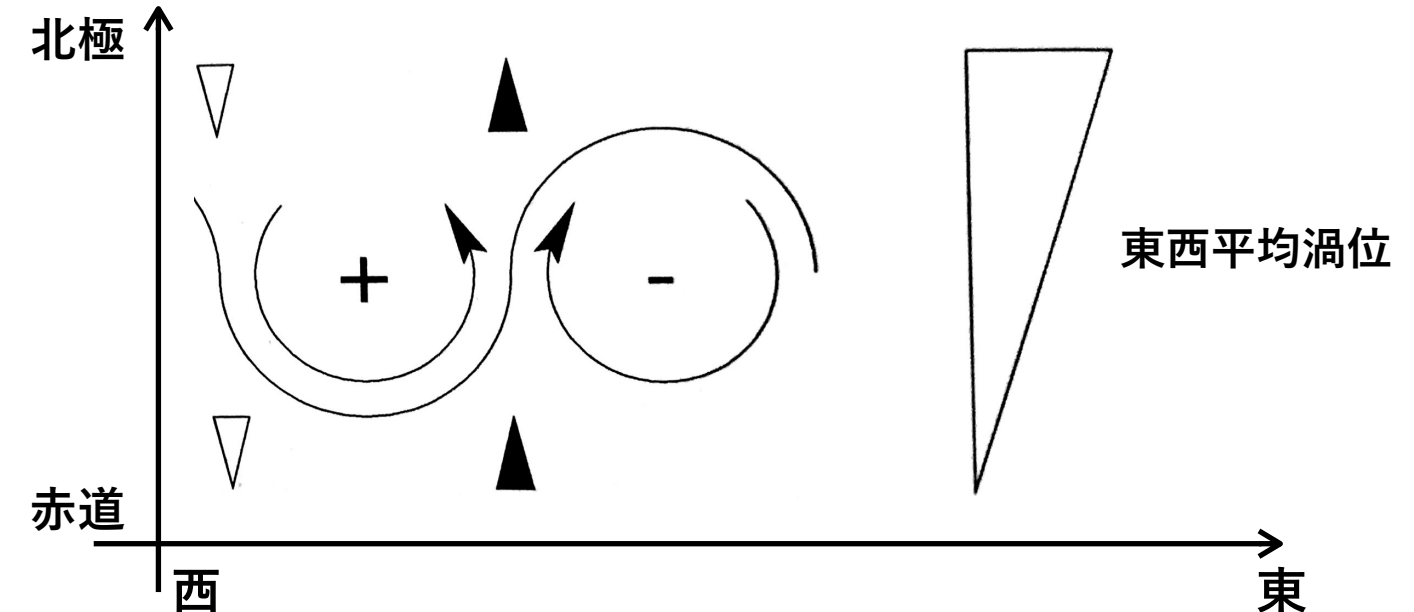
$$\text{渦位} = (\omega_a \cdot \nabla \theta) / \rho$$

東西平均



ロスビー波のポンチ絵→

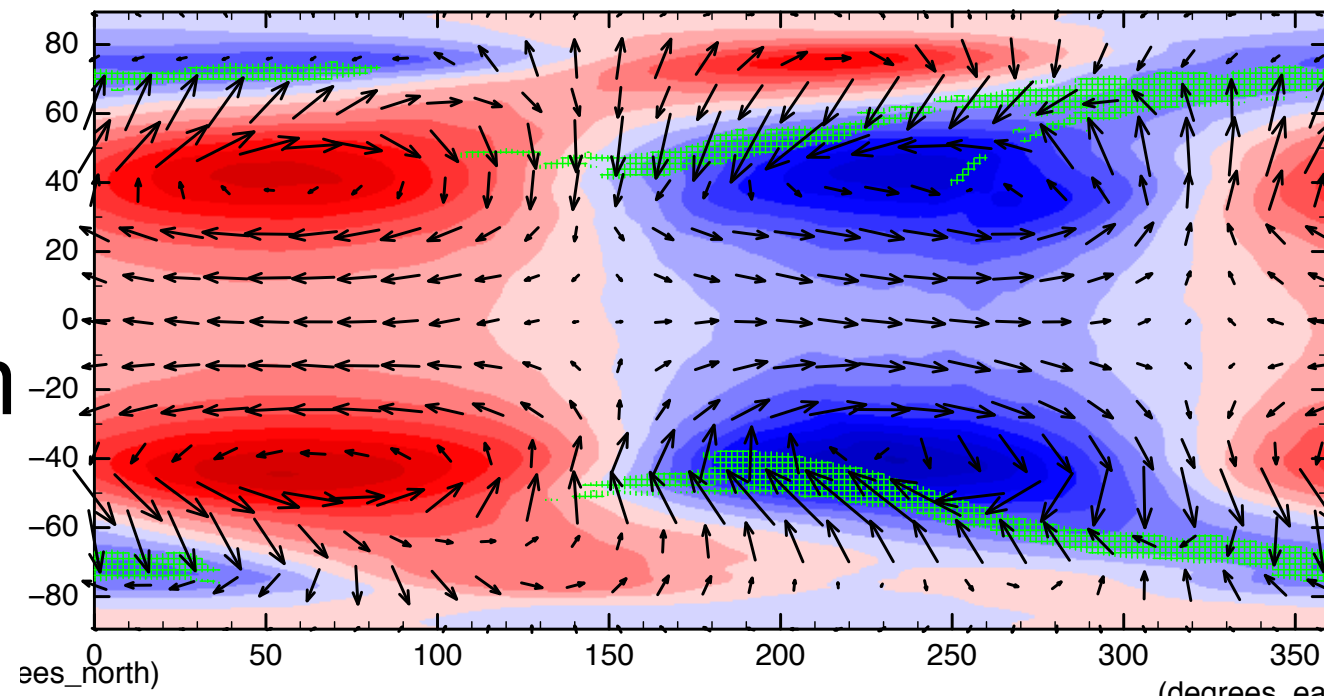
$$\text{渦位} = (\omega_a \cdot \nabla \theta) / \rho$$



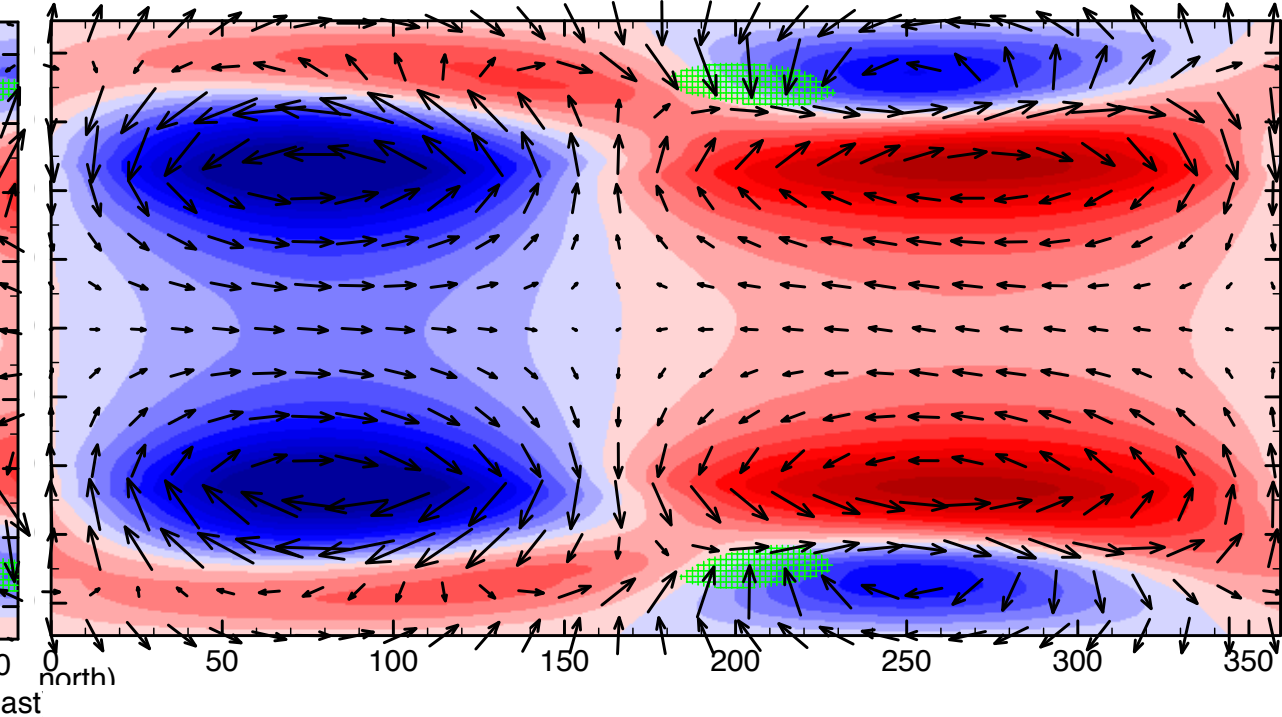
- 渦位の南北勾配の符号が変化している
- 摾乱の振幅が平均場に対して大きい
- 地球気象学での赤道ロスビー波とは異なる
- ✓ 自転の遅い金星気象学の難しさ

日変化なし | 0.1 K/km

km

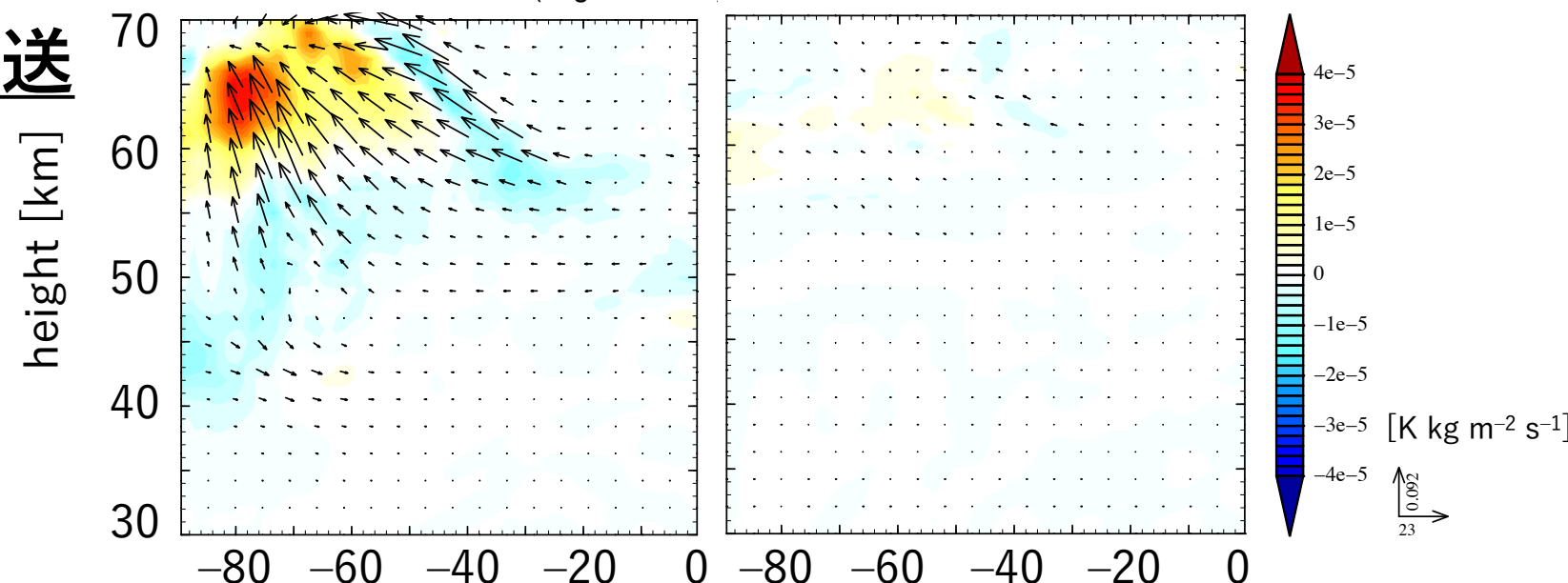


4 K/km



擾乱成分による熱輸送

ベクトル: $(\overline{v'\theta'}, \overline{w'\theta'})$
色: 収束/発散



- 擾乱成分による 極上空向きの熱輸送 は 傾圧不安定 の発生を示唆する。
 - 安定度が低い → 傾圧不安定
→ 赤道ロスビー波のような構造 と 極域の渦との接続(?)
→ 南北流の収束領域の形成 → 強い下降流 → 惑星規模ストリーク構造

今日のお話 | ここまでまとめ

① 金星大気循環の特徴

- ・ 金星は、自転が遅くて、空気が濃く、全球雲で覆われている
- ・ 大気は自転より約60倍も速く回転 = スーパーローテーション
- ・ 子午面循環 説と熱潮汐波 説の2つの仮説

② 大気大循環モデル (GCM) による研究

- ・ 長期積分が必要・観測が少ない = 金星大気計算の難しさ
- ・ 2000年代までは力学モデル、なのにモデル間のバラツキ 大
- ・ 2010年以降、モデル間相互比較・高度複雑化・高解像度化

③ 金星AFESを用いた高解像度計算 with 金星探査機あかつきの観測

- ・ 地球シミュレータ用のGCMを金星化して高解像度計算
- ・ あかつきIR2カメラの夜面画像が捉えた、惑星規模のストリークと、類似の構造がシミュレーションで得られた
- ・ 赤道ロスビー波・ケルビン波のような構造により南北同期(?)
- ・ 低安定度層 → 傾圧不安定 がストリーク形成のカギ(?)

今日のお話のまとめ

① 金星大気循環の特徴

- ・金星は、自転が遅くて、空気が濃く、全球雲で覆われている
- ・大気は自転より約60倍も速く回転 = スーパーローテーション
- ・子午面循環 説と熱潮汐波 説の2つの仮説

② 大気大循環モデル（GCM）による研究

- ・長期積分が必要・観測が少ない = 金星大気計算の難しさ
- ・2000年代までは力学モデル、なのにモデル間のバラツキ 大
- ・2010年以降、モデル間相互比較・高度複雑化・高解像度化

③ 金星AFESを用いた高解像度計算 with 金星探査機あかつきの観測

- ・地球シミュレータ用のGCMを金星化して高解像度計算
- ・あかつきIR2カメラの夜面画像が捉えた、惑星規模のストリークと、類似の構造がシミュレーションで得られた
- ・赤道ロスビー波・ケルビン波の ような 構造により南北同期(?)
- ・低安定度層 → 傾圧不安定 がストリーク形成のカギ(?)